

ANEXA DOCUMENTAL SI INFORMATIVĂ
INSTITUȚIA SCIENTIFICĂ "TEHNIKA VOLTA" TIMIȘOARA
PROIECTUL DE INVESTIGAȚIE

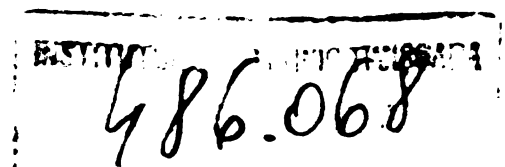
ing. LIVIU TOMA

CONTRIBUȚIA METODICĂ LA ANALIZA SPECTRULUI

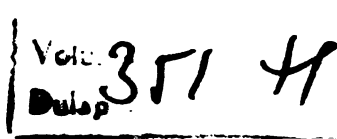
Teză de doctorat

BIBLIOTECĂ CENTRALĂ
UNIVERSITATEA "POLITEHNICA"
TIMIȘOARA

Conducător științific
prof.dr.ing.ELIAS POP



Timișoara - 34



1. INTRODUCERE

Prelucrarea numerică a semnalelor a devenit o disciplină majoră odată cu apariția și dezvoltarea calculatoarelor de mare viteză, reprezentând un domeniu de mare interes, prin aplicările tot mai numeroase în ramuri dintre cele mai diverse ale științei și tehnicii. Evoluția rapidă a tehniciilor de prelucrare numerică a semnalelor este determinată de avantajele pe care le oferă față de prelucrarea analogică. Aceste avantaje se referă în principal la performanță, flexibilitate, reproductibilitate, ieftinitate și preț de cost. Progresele realizate de tehnologie, integrarea pe scara largă, mărirea vitezei de lucru a circuitelor numerice, apariția, perfecționarea, diversificarea și creșterea complexității microprocesoarelor, apariția sistemelor bit-slice și microprogramarea au contribuit la evoluția rapidă a tehniciilor de prelucrare numerică a semnalelor /65/.

Prelucrarea numerică a semnalelor cuprinde reprezentarea semnalelor prin secvențe de numere și prelucrarea acestor secvențe. Scopul acestei prelucrări este de a extrage anumite informații despre semnal, sau despre sistemele care le-au generat. Tehnicile de prelucrare urmăresc în general transformarea unui semnal în alt semnal care este mai convenabil dintr-un punct de vedere. O astfel de transformare, utilizată în analiza semnalelor, este transformarea spectrală. Prin calculul spectrului se obține distribuția amplitudinii, fazei, puterii sau energiei unui semnal în funcție de frecvență. Analiza spectrală a semnalelor este utilizată în inginerie, economie, medicină, geofizică, acustică, comunicații, navigație, radioelectrice, /15/, /18/, /20/, /24/, /31/, /36/, /37/, /71/.

De exemplu, în analiza spectrală a datelor privind repetarea în timp a unor evenimente seismice se pot determina

periodicități. Acestea pot fi corelate cu perioadele unor fenomene astronomice. De asemenea, prin analiză spectrală se determină adâncimea de la suprafața pământului la care s-a declanșat un eveniment seismic /31/. Un alt exemplu se referă la determinarea unor componente periodice ale evoluției climatice, prin analiza spectrală a datelor rezultate din studiul parametrilor biologici și chimici ai sedimentelor depuse pe fundul oceanelor /31/. Dispunerea în adâncime a acestor sedimamente este calibrată în timp geologic. În radiolocație, analiza spectrală este utilizată la detectarea ţintelor /71/.

In cele că urmează se prezintă și anumite metodele tradiționale și optimizate de analiză spectrală. Pentru reprezentarea matematică a unui semnal discret $\{x_n\}$ de energie infinită, aceasta se consideră ca fiind o realizare a unui proces aleatoriu compus din variabile aleatoare x_n , $-\infty < n < \infty$ și de funcțiile de probabilitate atașate variabilelor aleatoare /6/. Un semnal discret de energie infinită este dat, în general, sub formă unei secvențe de numere cu lungime finită $\{x_n\}$, $n=0,1,\dots,N-1$. Dacă se cunosc funcțiile de probabilitate ale procesului aleatoriu, pentru $-\infty < n < \infty$, nu înseamnă că se pot determina valorile semnalului discret în afara intervalului de observare $n=0,1,\dots,N-1$. În schimb pot fi prevăzute mediile procesului aleatoriu care servesc pentru caracterizarea incompletă a semnalului discret de energie infinită, considerat o realizare a procesului aleatoriu. Dintre aceste medii se remarcă secvența de autocorelație. Densitatea spectrală de putere $R_x(f)$ a unui proces aleatoriu staționar în sens larg este definită /24/, /59/, /21/ ca transformata Fourier a secvenței de autocorelație. În cazurile practice procesul aleatoriu nu este determinat statistic, adică nu se cunosc toate funcțiile de probabilitate /49/. Informația principală despre procesul aleatoriu o reprezintă secvența de date $\{x_n\}$ de lungime finită $n=0,1,\dots,N-1$. Rezultă dacă posibilitatea de a determina doar estimării /3/, /57/ ale secvenței de autocorelație și ale densității spectrale de putere.

Metodele tradiționale de estimare spectrală utilizează operatorul de transformare Fourier aplicat secvenței de autocorelație sau secvenței de date. Estimarea Blackman-Tukey a

densitatea spectrală de putere este dată de relație /24/, /67/.

$$\hat{P}_{BT}(f) = \frac{1}{T} \sum_{m=-M}^{M-1} \hat{R}_{xx}(m) \exp(-j2\pi f_m T), \quad -\frac{1}{2T} \leq f \leq \frac{1}{2T}$$

(1.1)

unde $\{\hat{R}_{xx}(m)\}$ reprezintă o estimare de lungime M a secvenței de autocorelație obținută pe baza secvenței de date de lungime finită T . Estimarea densității spectrale de putere în funcție de secvența de date este exprimată prin relația /24/, /67/.

$$\hat{P}_{PLK}(f) = \frac{1}{NT} \left| \sum_{n=0}^{N-1} x_n \exp(-j2\pi f_n T) \right|^2, \quad -\frac{1}{2T} \leq f \leq \frac{1}{2T}.$$

(1.2)

Estimatorul $\hat{P}_{PLK}(f)$ este cunoscut în literatură sub denumirea pe periodogramă. Utilizarea transformației Fourier rapide /6/, /13/ permite evaluarea estimării $\hat{P}_{PLK}(f)$ pentru frecvențele $f_m = m \Delta f$, $m=0,1,\dots,N-1$ și $\Delta f = 1/NT$, /24/.

$$\hat{P}_m = \hat{P}_{PLK}(f_m) \cdot \Delta f = \left| \frac{1}{N} \sum_{n=0}^{N-1} x_n \exp(-j2\pi f_m n/N) \right|^2.$$

(1.3)

Estimarea \hat{P}_m se numește periodogramă discretă și permite obținerea spectrului sub formă de linii.

Principala cauză care conduce la erori în estimarea spectrală cu metodele tradiționale constă în prelucrarea unei secvențe de date de lungime finită. Astfel se presupune implicit că secvența de date este nulă în afara intervalului de observare. În locul secvenței reale de lungime infinită se prelucrează produsul acesteia cu o funcție fereastră dreptunghiulară, ceea ce în domeniul frecvenții reprezintă convoluția celor două transformate. Dacă puterea unui semnal este concentrată într-o bandă în ușă de frecvențe,

această convoluție va produce o scurgere de putere spre regiunile de frecvență adiacente sub forma unor lobi laterali.. Fenomenul de scurgere a puterii are implicații nefavorabile și asupra procesului de detectare și estimare a puterii unor componente sinusoidale. Astfel, lobii laterali corespunzători unei componente sinusoidale de putere mare pot masca lobul principal al unei componente de putere mai mică. Utilizarea ferestrelor diferite de cea dreptunghiulară pot conduce la reducerea fenomenului de scurgere, dar în totdeauna prin largirea lobului principal și transformarea ferestrei, deci cu prețul reducerii rezoluției /4/,/19/,/45/,/70/.

Metodele optimizante de analiză spectrală se bazează pe faptul că de multe ori în cazurile practice se cunosc, în afară de secvența de date și alte informații despre procesul care generează această secvență, sau se pot face anumite presupușri plauzibile. În funcție de aceste informații sau presupușri se poate alege un model exact sau aproximativ al procesului care generează secvența de date. Având modelul, se procedează la identificarea parametrilor modelului pe baza secvenței de date. Analiza spectrală, bazată pe tehnica modelării și identificarea parametrilor, se face prin determinarea entității spectrale în funcție de parametrii modelului. Rezoluția și fidelitatea estimării spectrale este funcție de abilitatea cu care se face corelația modelului și a parametrilor lui cu secvența de date și cu informațiile a priori pe care le deținem asupra procesului care generează secvența de date. Deoarece tehnica modelării implică extrapolarea secvenței de date în afara intervalului de observare /3/, rezultă posibilitatea obținerii unor estimării spectrale îmbunătățite față de cele obținute prin metodele tradiționale, în special în cazul secvențelor scurte /24/. Principalele mode de utilizare la estimarea spectrală sunt : modelul autoregresiv, modelul de mediere, modelul ARMA, modelul Prony de estimare a densității spectrale de energie și modelul Prony de estimare a liniilor spectrale /24/, /51/.

In lucrările de față, analiza spectrală se bazează pe modelul Prony de estimare a liniilor spectrale. Procesul este

modelat ca o sumă de sinusoide pentru care nu se impune corelarea armonică. Astfel, estimarea vinează numărul de sinusoide, frecvențele, amplitudinile și fazele lor.

In capitolul 2 se arată că un proces format din sinusoide este un proces autoregresiv cu coeficienții de autoregresie simetriei. Estimarea coeficienților de autoregresie permite calculul și evențelor, amplitudinilor și fazelor sinusoidelor. Contribuțiile lucrării în acest capitol constau în definirea matricii de date sumă și estimarea numărului de sinusoide și a coeficienților de autoregresie prin utilizarea descompunerii valorilor singulare a matricei de date sumă.

In capitolul 3 se prezintă o metodă optimizată de estimare a liniilor spectrale, care este contribuție a lucrării de față. Metoda se bazează pe mărirea simulării pasului de egantiorare și permite reducerea erorilor de estimare a frecvențelor sinusoidelor, simultan cu reducerea volumului de calcul necesar de timpării. In condiția menținerii constante a erorilor de mărire, metoda permite reducerea intervalului de timp de observare a procesului.

Capitolul 4 prezintă partea experimentală prin care se susțin contribuțiile lucrării. Experimentele se bazează pe simularea unor procese compuse din sinusoide în zgomot.

In capitolul 5 se prezintă concluziile rezultate din contribuțiile lucrării.

x x
 ..
 x

Autorul dă mulțumiri prof.dr.ing.Edmond Niccolau, de la Institutul Politehnic București, dr.ing.Aurel Illea, de la Institutul Național de Metrologie București și conf. dr.ing.Iosif Hoffmann, de la Institutul Politehnic Timișoara, pentru discuțiile, dicturile și recomandările primite în perioada de elaborare a tezei.

Lucrarea de căză își doboră existența cîndelului moral și înămuririle științifice ac căreia a beneficiat autorul din partea profesor. în Eugen Pop.

2. ESTIMAREA LINIILOR SPECTRALE

Prin estimarea liniilor spectrale se înțelege reprezentarea unui semnal în domeniul frecvență, ca o sumă de sinusoide. Se consideră secvențe de numere x_0, x_1, \dots, x_{N-1} obținută prin egantionarea cu pasul T , a unui semnal analog $x(t)$. Semnalul $x(t)$ se modelează ca o sumă de N sinusoide complexe de frecvențe alese arbitrar f_0, f_1, \dots, f_{N-1} . Rezultă secvența $\{\hat{x}_n\}$, care modelează semnalul discret $\{x_n\}$, conform relației

$$\hat{x}_n = \sum_{m=0}^{N-1} a_m \exp(j2\pi f_m nT), \quad n=0, 1, \dots, N-1. \quad (2.1)$$

Relația (2.1) se scrie sub formă matriceală

$$\hat{x} = Pa, \quad (2.2)$$

unde

$$\hat{x} = [\hat{x}_0, \hat{x}_1, \dots, \hat{x}_{N-1}]^T,$$

$$a = [a_0, a_1, \dots, a_{N-1}]^T,$$

$$P = \begin{bmatrix} 1 & 1 & \dots & 1 \\ \exp(\lambda_0) & \exp(\lambda_1) & \dots & \exp(\lambda_{N-1}) \\ \vdots & \vdots & & \vdots \\ \vdots & \vdots & & \vdots \\ \exp(\lambda_0[N-1]) & \exp(\lambda_1[N-1]) & \dots & \exp(\lambda_{N-1}[N-1]) \end{bmatrix}$$

și

$$\lambda_m = j2\pi f_m T. \quad (2.3)$$

Se pune problema de a determina coeficienții a_m , astfel încât secvența $\{\hat{x}_n\}$ să modelizeze cît mai bine secvențul discret $\{x_n\}$, în cazul în care frecvențele f_m și numărul lor N sunt impare. Pentru aceasta se minimizează eroarea patrată

$$\sum_{n=0}^{N-1} |x_n - \hat{x}_n|^2 , \quad (2.4)$$

adică se rezolvă sistemul (2.2) în sensul celor mai mici patrate. Se obține relația /33/

$$a = (F^H F)^{-1} \dots , \quad (2.5)$$

unde

$$x = [x_0, x_1, \dots, x_{N-1}]^T$$

și F^H reprezintă matricea transpusă complex conjugată a matricei F .

Se consideră modelul seriei Fourier /48/ pentru care frecvențele sinusoidelor sunt

$$f_m = m \Delta f , \quad (2.6)$$

unde

$$\Delta f = \frac{1}{NT} . \quad (2.7)$$

Din relația (2.3), se obține

$$\lambda_m = j \frac{2\pi}{N} m , \quad m = 0, 1, \dots, N-1 . \quad (2.8)$$

În acest caz coloanele matricei F sunt vectori ortogonali /61/.

Rezultă

$$F^H F = \frac{1}{N} I , \quad (2.9)$$

unde I este matricea unitate. Se obține soluția sistemului
(2.2)

$$a = \frac{1}{N} F^H x,$$

adică

$$a_m = \frac{1}{N} \sum_{n=0}^{N-1} x_n \exp(-j2\pi m n/N),$$

pentru $m = 0, 1, \dots, N-1$. Rezultă că puterea unei sinusoidi complexe de frecvență impară ω_m este

$$|a_m|^2 = \left| \frac{1}{N} \sum_{n=0}^{N-1} x_n \exp(-j2\pi m n/N) \right|^2. \quad (2.10)$$

Relația (2.10) reprezintă expresia de calcul a periodogramei discrete (1.3). Rezultă că metoda periodogramei discrete de estimare a liniilor spectrale corespunde unui model compus dintr-un număr dat de sinusoidi complexe cu frecvențe armonice /24/, /2/. Cu acest model se consideră semnalul discret ca repetindu-se periodic în afara intervalului de observare NT. Deoarece numărul și frecvențele sinusoidelor se impun, rezultă că este necesară două estimări ale puterii sinusoidelor, ceea ce se realizează cu relația (2.10) de definire a periodogramei discrete.

In lucrarea de ieri au tratat se metodile de estimare a liniilor spectrale utilizând modelul Prony. Acest model este nearmonic și necesită estimarea numărului, frecvențelor, amplitudinilor și fazelor sinusoidelor. Pentru estimarea frecvențelor sinusoidelor se corelăză secvența de date cu parameetrii unui model autoregresiv. Rezultă să, spre deosebire de periodograma discretă care presupune desfășurarea periodică a semnalului în afara intervalului de observare, modelul Prony presupune desfășurarea semnalului în afara intervalului de observare conform unui proces autoregresiv. Această presupunere, mult mai realistă, se conduce la obținerea unor es-

timății spectrale mult îmbunătățite sub aspectul rezoluției și fidelității, în special pentru semnale disponibile pe un interval de timp scurt.

2.1. Modelarea autoregresivă a sevențelor de date corespunzătoare semnalelor sinusoidale

Se consideră secvența de date $\{x_n\}$, $n=1, 2, \dots, N$ obținută prin eșantionarea unui proces format din L sinusoide de amplitudini A_k , frecvențe f_k și faze φ_k , $k=1, 2, \dots, L$. Un eșantion x_n aparținând secvenței de date are expresia

$$x_n = \sum_{k=1}^L A_k \sin(2\pi f_k n T + \varphi_k), \quad n=1, 2, \dots, N \quad (2.11)$$

unde T reprezintă perioada de eșantionare.

Relația (2.11) poate fi exprimată ca sumă de exponențiale complexe

$$x_n = \sum_{k=1}^L (a_k e^{s_k n} + a_k^* e^{s_k^* n}), \quad n=1, 2, \dots, N \quad (2.12)$$

unde a_k și s_k sunt numere complexe. În identificarea relațiilor (2.11) și (2.12) se obține

$$a_k = \frac{A_k}{2j} e^{j\varphi_k}, \quad k=1, 2, \dots, L \quad (2.13)$$

$$s_k = j2\pi f_k, \quad k=1, 2, \dots, L. \quad (2.14)$$

În cazul general în care numerele complexe s_k au parte reală diferit de zero, secvența de date corespunde unui

proces format din sinusoide atenuate exponentiale.

2.1.1. Modelul autoregresiv

In acest paragraf se demonstreaza ca un proces format din L sinusoide atenuate exponentiale este un proces autoregresiv de ordinul 2L.

Pentru aceasta se definește matricile de date. Astfel, matricea de date directe este definită /29/ prin relația

$$A_d = \begin{bmatrix} x_{L+1} & x_L & \cdots & x_1 \\ x_{L+2} & x_{L+1} & \cdots & x_2 \\ \vdots & \vdots & & \vdots \\ \vdots & \vdots & & \vdots \\ x_N & x_{N-1} & \cdots & x_{N-L} \end{bmatrix} \quad (2.15)$$

cu $2L \leq L \leq N-2L$. Matricea de date directe cu dimensiunea $(N-L) \times (L+1)$ este de tip Toeplitz /1/. Elementele matricei A_d situate pe orice linie paralela cu diagonala principală sunt egale.

Se definește matricea de date inverse /29/

$$A_i = \begin{bmatrix} x_1 & x_2 & \cdots & x_{L+1} \\ x_2 & x_3 & \cdots & x_{L+2} \\ \vdots & \vdots & & \vdots \\ \vdots & \vdots & & \vdots \\ x_{N-L} & x_{N-L+1} & \cdots & x_N \end{bmatrix} \quad (2.16)$$

cu $2L \leq L \leq N-2L$. Matricea de date inverse cu dimensiunea $(L+1) \times (L+1)$ este de tip Hankel /1/. Elementele matricei A_i situate pe orice linie perpendiculară la diagonala principală sunt egale.

Se definește matricea de date directe-inverse

$$A_{di} = \begin{bmatrix} a_d \\ a_1 \\ \vdots \\ a_L \end{bmatrix} = \begin{bmatrix} x_{1+1} & x_L & \cdots & x_1 \\ x_{L+1} & x_{L+1} & \cdots & x_2 \\ \vdots & \vdots & & \vdots \\ \vdots & \vdots & & \vdots \\ \vdots & \vdots & & \vdots \\ x_1 & x_{N-1} & \cdots & x_{N-L} \\ x_2 & x_2 & \cdots & x_{L+1} \\ x_3 & x_3 & \cdots & x_{L+2} \\ \vdots & \vdots & & \ddots \\ \vdots & \vdots & & \vdots \\ x_{N-L} & x_{N-L+1} & \cdots & x_N \end{bmatrix} \quad (2.17)$$

de dimensiunea $2(N-L) \times (L+1)$.

Se pune problema de a determina rangurile matricilor de date definite mai sus, în funcție de numărul L de sinusoidi attenuate exponențial ce compun procesul din care s-a prelevat secvența de date $\{x_n\}$, $n = 1, 2, \dots, N$. În acest scop se consideră vectorii date prin relațiile :

$$v_{1k} = [e^{s_k(L+1)}, e^{s_k L}, \dots, e^{s_k 2}, e^{s_k}]^T, \quad (2.18)$$

$k = 1, 2, \dots, L$

$$v_{2k} = [e^{s_k^*(L+1)}, e^{s_k^* L}, \dots, e^{s_k^* 2}, e^{s_k^*}]^T, \quad (2.19)$$

$k = 1, 2, \dots, L$

$$v_{3k} = [e^{s_k}, e^{s_k^* 2}, \dots, e^{s_k^* L}, e^{s_k^*(L+1)}]^T, \quad (2.20)$$

$k = 1, 2, \dots, L$

$$v_{4k} = \left[e^{s_k^*}, e^{s_k^* 2}, \dots, e^{s_k^* L}, e^{s_k^* (L+1)} \right]^T, \\ k = 1, 2, \dots, L. \quad (2.21)$$

In cazul general in care numerele complexe s_k au partea reală diferită de zero, ceea ce corespunde unui proces format din sinusoide atenuate exponențial, toți vectorii $v_{1k}, v_{2k}, v_{3k}, v_{4k}$, $k=1, 2, \dots, L$ sunt liniar independenți. Din relația (2.12) se deduce că orice linie a matricei de date directe A_d se obține din combinația liniară a $2L$ vectori liniar independenti v_{1k}, v_{2k} , $k=1, 2, \dots, L$. Similar, orice linie a matricei de date inverse A_i se obține din combinația liniară a $2L$ vectori independenti v_{3k}, v_{4k} , $k=1, 2, \dots, L$. Rezultă că, dacă numărul de liniile ale matricilor A_d și A_i este mai mare sau egal cu $2L$, adică $N-L \geq 2L$, rangul acestor matrici este egal cu $2L$. Din modul de definire al matricei de date directe-inverse A_{di} rezultă că aceasta este de rang $4L$.

Deoarece rangul matricei de date directe (inverse) este $2L$ rezultă că orice coloană a acestei matrice se obține prin combinații liniare ale altor $2L$ coloane ale aceleiași matrice. Se obține

$$x_n = - \sum_{m=1}^{2L} b_m x_{n-m}, \quad (2.22)$$

unde $n = 2L+1, 2L+2, \dots, N$. Relația (2.22) exprimă faptul că un proces format din L sinusoide atenuate exponențial este un proces autoregresiv de ordinul $2L$ cu coeficienții de autoregresie b_m reali /24/.

2.1.2. Modelul autoregresiv simetric. Matricea de date sumă

In cele ce urmează se demonstrează că un proces format din L sinusoide neatenuate este un proces autoregresiv de ordinul $2L$ cu coeficienții de autoregresie reali și simetrice. Problemele tratate în acest lucru se referă la sinusoidi

neatenute și nu se va mai specifica acest fapt. Deoarece, în acest caz, numerele s_k , $k = 1, 2, \dots, M$ sunt pur imaginare, conform relației 2.14, rezultă

$$e^{s_k^*} = e^{-s_k}, \quad k = 1, 2, \dots, M. \quad (2.23)$$

Având în vedere modul de definire a vectorilor v_{1k} , v_{2k} , v_{3k} , v_{4k} , se obține

$$e^{-s_k^{*(L+1)}} v_{1k} = v_{4k}, \quad k = 1, 2, \dots, L. \quad (2.24)$$

$$e^{-s_k^{*(L+1)}} v_{2k} = v_{2k}, \quad k = 1, 2, \dots, L.$$

Relațiile (2.24) exprimă faptul că vectorii v_{1k} și v_{4k} , respectiv v_{2k} și v_{3k} , $k = 1, 2, \dots, L$ devin liniar dependenți doi cîte doi. Rezultă că, în cazul unui proces format din M sinusoide, rangul matricei de date A_{di} este $2L$.

Deoarece rangul matricei de date direct-inverse A_{di} este $2L$ rezultă că orice coloană a acestei matrice se obține prin combinații liniare ale altor $2L$ coloane. Rezultă relațiile

$$x_n = - \sum_{m=1}^{2L} b_m x_{n-m}, \quad (2.25)$$

$$x_{n-2L} = - \sum_{m=1}^{2L} b_m x_{n-2L+m}, \quad (2.26)$$

unde $n = 2L+1, 2L+2, \dots, N$. Din compatibilitatea relațiilor (2.25) și (2.26) se obține

$$b_{2L} = 1, \quad (2.27)$$

$$b_m \neq b_{2L-m}.$$



Rezultă că un proces format din L sinusoide este un proces autoregresiv de ordinul $2L$ cu coeficienții de autoregresie b_m reali și simetriei [7], [24], [39].

Așind în vedere simetria coeficienților de autoregresie, rezultă că devinu uile definirea matricei de date, cui forma [2]

$$A' = \begin{bmatrix} x_{L+1+x_1} & x_L+x_2 & \cdots & x_{L/2+1} \\ x_{L+2+x_2} & x_{L+1+x_3} & \cdots & x_{L/2+2} \\ \vdots & \vdots & & \vdots \\ \vdots & \vdots & & \vdots \\ \vdots & \vdots & & \vdots \\ x_N+x_{N-L} & x_{N-1+x_{N-L+1}} & \cdots & x_{N-L/2} \end{bmatrix} \quad (2.28)$$

cu $2L \leq L \leq N-L$ și L un număr par. Matricea A' are o structură Toeplitz plus Hankel și implică un vector al coeficienților de autoregresie de formă [24]

$$b = [b_0, b_1, \dots, b_{L/2-1}, b_{L/2}/2]^T.$$

In lucrarea de la [2] se definește matricea de date sub forma

$$A_s = \begin{bmatrix} x_{L+1+x_1} & x_L+x_2 & \cdots & x_{L/2+1} \\ x_{L+2+x_2} & x_{L+1+x_3} & \cdots & x_{L/2+2} \\ \vdots & \vdots & & \vdots \\ \vdots & \vdots & & \vdots \\ \vdots & \vdots & & \vdots \\ x_N+x_{N-L} & x_{N-1+x_{N-L+1}} & \cdots & x_{N-L/2} \end{bmatrix} \quad (2.29)$$

cu $2L \leq L \leq N-L$ și L un număr par. Matricea A_s implică un vector al coeficienților de autoregresie de formă

$$b = [b_0, b_1, \dots, b_{L/2-1}, b_{L/2}/2]^T.$$

Matricea de date sumă are dimensiunea $(N-L) \times (L/2+1)$.

Pentru a determina rangul matricei de date sumă A_s în funcție de numărul de sinusoide ce compun procesul din care s-a prelevat secvența de date $\{x_n\}$, $n=1, 2, \dots, N$, se definesc vectorii

$$v_{5k} = \begin{bmatrix} e^{s_k(L+1)} & e^{s_k L} & s_k^2 & e^{s_k(L+4)/2} & e^{s_k L/2} & e^{s_k(L+2)/2} \\ \vdots & \vdots & \vdots & \vdots & \vdots & \vdots \end{bmatrix}, \quad k=1, 2, \dots, L$$

$$v_{6k} = \begin{bmatrix} e^{s_k^*(L+1)} & e^{s_k^* L} & s_k^*{}^2 & e^{s_k^*(L/2+2)} & e^{s_k^* L/2} & e^{s_k^*(L/2+1)} \\ \vdots & \vdots & \vdots & \vdots & \vdots & \vdots \end{bmatrix}, \quad k=1, 2, \dots, L$$
(2.30)

Având în vedere relația (2.23) se deduce

$$e^{-s_k(L+1)} v_{5k} = v_{6k}, \quad k=1, 2, \dots, L. \quad (2.31)$$

Relația (2.31) exprimă faptul că vectorii v_{5k} și v_{6k} , $k=1, 2, \dots, L$ sunt liniar dependenți doi. Se menționează că vectorii v_{5k} , $k=1, 2, \dots, L$ sunt liniar independenți, ca și vectorii v_{6k} , $k=1, 2, \dots, L$. Din relația (2.31) se deduce că orice linie a matricei de date sumă A_s se obține din combinația liniară a vectorilor v_{5k} , v_{6k} , $k=1, 2, \dots, L$ din care L sunt liniar independenți. Rezultă că rangul matricei de date sumă A_s este L , ceea ce deci cu numărul de sinusoide ce compun procesul.

Demonstrări privind rangul matricei de date A_s în funcție de numărul sinusoide ce compun procesul din care s-a prelevat secvența de date $\{x_n\}$ este o contribuție a prezentei lucrări.

2.2. Determinarea frecvențelor, amplitudinilor și fazelor sinusoidelor lor

In paragraf 1.1 precedente a demonstrat că un proces format din L sinusoide este un proces autoregresiv de ordinul

nul $2k$ cu coeficienții de autoregresie reali și simetriți, ceea ce este exprimat prin relațiile (2.25) și (2.27). Se pune problema de a determina frecvențele sinusoidelor în funcție de coeficienții de autoregresie. Pentru aceasta se formează un coeficient de autoregresie polinomul caracteristic definit prin relația

$$P(z) = \sum_{m=0}^{2k} b_m z^{2m}, \quad (2.32)$$

în care $b_0 = 1$. Deoarece coeficienții de autoregresie sunt reali rezultă că polinomul $P(z)$ are rădăcini complexe conjugate, fiind exprimat prin relația

$$P(z) = \prod_{k=1}^K (z - z_k)(z - z_k^*). \quad (2.33)$$

Se scrie relația (2.5) sub forma

$$\sum_{m=0}^{2k} b_m x_{n-m} = 0, \quad (2.34)$$

unde $b_0 = 1$. Din relațiile (2.12) și (2.34) se obține

$$\sum_{m=0}^{2k} b_m \sum_{k=1}^K \left[s_k e^{s_k(n-m)} + s_k^* e^{s_k^*(n-m)} \right] = 0. \quad (2.35)$$

În relația (2.25) se fac substituțiile

$$e^{s_k(n-m)} = e^{s_k(n-2k)} e^{s_k(2k-m)},$$

$$e^{s_k^*(n-m)} = e^{s_k^*(n-2k)} e^{s_k^*(2k-m)}.$$

Se obține

$$\sum_{k=1}^L a_k e^{s_k(n-2L)} \sum_{m=0}^{2L} b_m e^{s_k(2L-m)} + \\ + \sum_{k=1}^M a_k^* e^{s_k^*(n-L)} \sum_{m=0}^{2L} b_m e^{s_k^*(2L-m)} = 0 \quad (2.36)$$

Relație (2.36), la fel ca și (2.34), se menține pentru orice n . Astfel, se obține din relația (2.36) un sistem de ecuații care admite soluția

$$\sum_{m=0}^{2L} b_m e^{s_k(2L-m)} = 0, \quad k=1, 2, \dots, L \quad (2.37)$$

$$\sum_{m=0}^{2L} b_m e^{s_k^*(2L-m)} = 0, \quad k=1, 2, \dots, L.$$

Rezultă că rădăcinile polinomului caracteristic $P(z)$ definit prin relația (2.32) sunt

$$z_k = e^{s_k}, \quad 1, 2, \dots, L \quad (2.38)$$

$$z_k^* = e^{s_k^*}, \quad 1, 2, \dots, L.$$

Inlocuind în (2.33) coeficienții a_k date prin relația (2.14), se obține

$$z_k = e^{j2\pi \frac{k}{L}}, \quad k=1, 2, \dots, L \quad (2.39)$$

$$z_k^* = e^{-j2\pi \frac{k}{L}}, \quad k=1, 2, \dots, L. \quad (2.40)$$

486068
331+1

Rezultă că, pentru un proces format din sinusoide, coeficienții de autoregresie sunt funcții de frecvențele sinusoidelor și nu depind de amplitudinile și fazele lor. Pentru determinarea frecvențelor sinusoidelor în funcție de coeficienții de autoregresie se calculează rădăcinile polinomului caracteristic (2.32) și apoi se folosește relația

$$f_k = \frac{1}{2\pi T} \left[\arg(z_k) + 2\pi r \right], \quad k=1,2,\dots,n. \quad (2.41)$$

Erorile alias /33/ se manifestă prin nedeterminarea numărului întreg r . Dacă secvența de date este obținută prin eșantionare cu pasul T , astfel încât să se respecte teorema eșantionării $1/T > 2f_k$, $k=1,2,\dots,n$, coeficientul r din relația (2.41) este egal cu zero.

In cele ce urmează se pune problema determinării amplitudinilor și fazelor sinusoidelor în funcție de secvența de date și de frecvențele sinusoidelor. In acest scop se scrie relația (2.11) sub formă

$$x_n = \sum_{k=1}^n \left[\alpha_k \sin(2\pi f_k nT) + \beta_k \cos(2\pi f_k nT) \right], \quad n=1,2,\dots,N \quad (2.42)$$

de unde

$$A_k = \sqrt{\alpha_k^2 + \beta_k^2}, \quad k=1,2,\dots,n \quad (2.43)$$

$$\gamma_k = \arctg \frac{\beta_k}{\alpha_k}, \quad k=1,2,\dots,n. \quad (2.44)$$

Dacă se dă secvența de date $\{x_n\}$, $n=1,2,\dots,N$ și se cunosc frecvențele sinusoidelor f_k , $k=1,2,\dots,n$, relația (2.42) reprezintă un sistem de ecuații liniare cu $2n$ necunoscute α_k , β_k , $k=1,2,\dots,n$. Înolvind sistemul de ecuații liniare se obțin coeficienții α_k și β_k . Cu relațiile (2.43) și

(2.44) se obțin amplitudinile și respectiv fazele sinusoidelor.

In cazul $M > n$, numărul de ecuații ale sistemului (2.42) este mai mare decât numărul de necunoscute, și sistemul devine supradeterminat. Dacă pentru determinarea amplitudinilor și fazelor se dispune de estimări ale frecvențelor f_k , $k = 1, 2, \dots, M$, sistemul de ecuații liniare supradeterminat se rezolvă în sensul celor mai mici patrate.

Din cele prezentate rezultă că determinarea frecvențelor, amplitudinilor și fazelor sinusoidelor, în funcție de coeficienții de autoregresie și de secvența de date, se face în două etape. În prima, se determină frecvențele sinusoidelor, ca rădăcini ale polinomului caracteristic construit cu coeficienții de autoregresie. În a doua etapă se determină amplitudinile și fazele sinusoidelor în funcție de coeficienții de autoregresie și de secvența de date, prin rezolvarea sistemului de ecuații liniare (2.42).

2.3. Estimarea numărului de sinusoide

In paragraful 2.1 s-a demonstrat că, pentru un proces format din M sinusoide, rangul matricilor de date directe A_d , inverse A_i și directe-inverse A_{di} este $2M$, iar rangul matricei de date sunt A_g este M . Rezultă că numărul de sinusoide poate fi determinat ca rang al matricilor de date. In acest paragraf se propune problema estimării numărului de sinusoide în situația în care secvența de date este afectată de zgomot. Această estimare se face prin calculul numeric al rangului matricilor de date. Dificultățile reale privind soluționarea acestei probleme rezultă din faptul că rangul unei matrice este o funcție discontinuă de elementele matricei /12/. Astfel, perturbații mici ale elementelor unei matrice A cu dimensiunea $m \times n$ ($m > n$), de rang $r < n$, conduc la o matrice de rang $r = n$ /58/. Se afiră /5/, /25/, /26/ că utilizarea descompunerii valorilor singulare (DVS) constituie singurul mijloc sigur de determinare a rangului unei matrice de formă generală.

Teorema referitoare la descompunerea valorilor singulare /5/, /25/ afirma că pentru orice matrice reală A de dimensiune $m \times n$ și rang r, există matricile ortogonale U, $m \times m$ și V, $n \times n$, astfel încât

$$A = U \Sigma V^T, \quad (2.45)$$

unde Σ se numește formă canonica pseudodiagonală a matricii A.

$$\Sigma = \begin{bmatrix} S & 0 \\ 0 & 0 \end{bmatrix}; \quad (2.46)$$

și S este o matrice diagonală

$$S = \text{diag}(\sigma_1, \sigma_2, \dots, \sigma_r), \quad (2.47)$$

cu

$$\sigma_1 \geq \sigma_2 \geq \dots \geq \sigma_r > 0. \quad (2.48)$$

In relația (2.45) se notat cu V^T transpusă matricei V.

Numerele $\sigma_1, \sigma_2, \dots, \sigma_r$ împreună cu $\sigma_{r+1} = 0, \sigma_{r+2} = 0, \dots, \sigma_n = 0$ se numesc valori singulare ale matriciei A și sunt rădăcinile patrate pozitive ale valorilor proprii ale matriciei $A^T A$. Coloanele matricii U se numesc vectori singulari la stânga ai matricei A și sint vectori proprii ortonormali ai matriciei $A^T A$. Coloanele matricii V se numesc vectori singulari la dreapta ai matricei A și sint vectori proprii ortonormali ai matriciei $A^T A$.

Din cele prezentate mai sus rezultă că rangul unei matrice este dat de numărul valorilor singulare diferite de zero obținute prin DVS.

Piind dată o matrice reală A de dimensiune $m \times n$ și rang r, toate matricile S, $r \times n$, care satisfac relația

$$\|B - A\|_2 < \sigma_r \quad (2.49)$$

sunt de rang mai mare decât r. In relația (2.49) prin $\|\cdot\|_2$ se notează norma spectrală unei matrice, definită ca normă

matriceală indicată de norma vectorială euclidiană /30/, prin relația

$$\|A\|_2 = \sup_{\|x\|_2=1} \|Ax\|_2, \quad (2.50)$$

unde vectorul $x \in \mathbb{R}^n$. Se arată /30/, /64/ că

$$\|A\|_2 = \max\{\sigma_1, \sigma_2, \dots, \sigma_r\} = \sigma_1, \quad (2.51)$$

unde σ_1 reprezintă valoarea singulară maximă a matricei A. Matricea

$$B = U \hat{\Sigma} V^T, \quad (2.52)$$

unde

$$\hat{\Sigma} = \begin{bmatrix} \hat{S} & 0 \\ 0 & 0 \end{bmatrix},$$

$$\hat{S} = \text{diag}(\sigma_1, \sigma_2, \dots, \sigma_{r-1}),$$

are rangul $r-1$.

$$\|B - A\|_2 = \sigma_r. \quad (2.53)$$

Rezultă că valoarea singulară minimă σ_r a matricei A exprimată oît de deasupra, în sensul normei spectrale, este matricea A față de matricile de rang mai mic decât r. Pentru exprimarea relației acestei deparțări se folosește raportul

$$\frac{\sigma_r}{\|A\|_2} = \frac{\sigma_r}{\sigma_1}.$$

Pentru toate matricile B care satisfac relația (2.49) se definește rangul efectiv egal cu r /12/. Rangul efectiv al unei matrice, fiind o funcție întreagă, este discontinuă de elementele matricii, dar numărul de discontinuități este mult mai mic decât cel al funcției definite de rangul unei matrice.

In prezenta lucrare numărul de sinusoide dintr-un proces compus din sinusoide în zgomb se estimează ca rang efectiv al matricei de date sumă A_s . Rangul efectiv se obține prin analiza valorilor singulare rezultate din DVS a matricei A_s . De către intervalul de timp pe care sănt prelevate eșantioanele unei linii a matricei de date este foarte scurt relativ la perioadele frecvențelor mici, aportul acestor frecvențe în eșantioanele liniei respective este aproksimativ constant. În consecință valorile singulare indică numai prezența frecvențelor mici. Această concluzie este susținută prin rezultatele experimentului 2.1 (Capitolul 4) în care se consideră un proces format din cinci sinusoide în zgomb aditiv : $f_1 = 2$ Hz; $f_2 = 6$ Hz; $f_3 = 20$ Hz și $f_4 = 30$ Hz. Pasul de eșantionare este $T = 1/256$ s. Intervalul de timp pe care sănt prelevate eșantioanele unei linii a matricei de date A_s , cu $L = 2L = 10$, este $1/25,6$ s, mult mai mic relativ la perioadele frecvențelor f_1 și f_2 . Astfel, în experimentul 2.1 se obțin valorile singulare $\sigma_1 = 45,1$; $\sigma_2 = 24,5$; $\sigma_3 = 3,2$; $\sigma_4 = 0,061$; $\sigma_5 = 0,028$; $\sigma_6 = 0,015$. Deoarece $\sigma_4 \ll \sigma_3$, rangul efectiv al matricei A_s se ia egal cu trei. Rezultă că valorile singulare indică numai prezența sinusoidelor cu frecvențele mai mari f_1 , f_2 și f_3 .

Pentru a obține estimării corecte pentru numărul de sinusoide este necesară utilizarea matricilor de date sumă cu adăugire simulată a pasului de eșantionare A_{SK} , $K = 2,3,\dots$, definite prin prezenta lucrare (Relație 3.22 Capitolul 3). Intervalul de timp corespunzător unei linii a matricei de date A_{SK} este de K ori mai mare decât intervalul de timp corespunzător unei linii a matricei A_s . În acest fel se impune prezența frecvențelor mici, ceea ce se confiră prin experimentele 2.2, 2.3 și 2.4, în care se utilizează matricea de date sumă A_{S4} , cu $K = 4$. Astfel, în experimentul 2.1, se obțin valorile singulare ale matricei A_{S4} , cu $L = 2L = 10$: $\sigma_1 = 19,9$; $\sigma_2 = 17,6$; $\sigma_3 = 8,23$; $\sigma_4 = 1,51$; $\sigma_5 = 3,59$; $\sigma_6 = 0,025$. Deoarece $\sigma_6 \ll \sigma_5$, rangul efectiv al matricei A_{S4} este cinci. Rezultă că valorile singulare indică prezența celor cinci sinusoide.

Dintr-un punct de vedere mai general valorile singulare indică posibilitatea corelării modelului cu secvența de date. În această lucrare modelul este format dintr-o sumă de sinusoide. O valoare singulară σ a matricei A_s exprimă cît de departe

te, în sensul normei spectrale, este matricea A_s față de matricile de rang mai mic decât r . Expresarea relativă a acestei depărtări se face prin raportul σ_r/σ_1 . Rezultă că raportul σ_r/σ_1 este o măsură a corelației unui model format din $(r-1)$ sinusoide cu secvența de date. Cu cât acest raport este mai mic corelația este mai bună.

În cazul unui proces format din $(r-1)$ sinusoide în zgombot, raportul σ_r/σ_1 este cu atât mai mic cu cât raportul semnal-zgombot este mai mare. Aceasta în condiția că intervalul de timp corespondator unei linii a matricei de date să nu fie mult mai mic relativ la perioadele frecvențelor mici conținute în proces.

Estimarea numărului de sinusoide prin utilizarea DVS a matricilor de date sună și observația că estimările mai bune se obțin prin utilizarea matricilor de date sună cu adăugire simulată a pasului de egantionare, reprezentă contribuții ale prezentei lucrări.

2.4. Estimarea coeficientilor de autoregresie

În paragraful 2.1 s-a demonstrat că un proces format din M sinusoide este un proces autoregresiv de ordinul $2M$ cu coeficienții de autoregresie reali și simetriți. Se pune problema estimării coeficientilor de autoregresie în cazul în care procesul format din siruri de date este afectat de zgombot aditiv. Dacă se notează cu $\{y_n\}$, $n = 1, 2, \dots, N$ secvența obținută prin egantionarea unui proces format din M sinusoide în zgombot, cu $\{\varepsilon_n\}$, $n = 1, 2, \dots, N$ secvența corespunzătoare aceluiași proces, secvența zgombotului și cu $\{w_n\}$, $n = 1, 2, \dots, N$ secvența de zgombot, se obține

$$y_n = x_n + \varepsilon_n, \quad n = 1, 2, \dots, N. \quad (2.54)$$

Având în vedere relația (2.29) rezultă

$$y_n = - \sum_{i=1}^{2M} a_i x_{n-i} + w_n. \quad (2.55).$$

Inlocuind $x_{n+m} = y_{n+m} - w_{n+m}$ în relația (2.55) se obține

$$y_n = - \sum_{m=1}^{2M} b_m y_{n-m} + \sum_{m=1}^{2M} b_m w_{n-m} + w_n . \quad (2.56)$$

Din relație (2.56) rezultă că un proces format din zgomot aditiv este un proces AR(2M) de ordinul 2M cu coeficienții de autoregresie egali cu cei de mediere /24/, /7/, /69/. Această proprietate a procesului impune metode de estimare a parametrilor procesului diferite față de metodele generale utilizate în cazul modelului AR(1).

2.4.1. Estimarea coeficienților de autoregresie în funcție de secvența de autocorelație

Metoda descompuneri armonice Pisarenko permite estimarea coeficienților de autoregresie b_m în cazul în care se cunoaște secvența de autocorelație $\{R_{yy}(k)\}$, $k = 0, 1, \dots, 2L$, iar zgomotul aditiv este sălbăt cu media zero și dispersie σ_w^2 /24/, /67/, /53/.

Se scrie relația (2.56) sub formă matriceală

$$\mathbf{y}^T \mathbf{b} = \mathbf{w}^T \mathbf{b} \quad (2.57)$$

unde

$$\mathbf{y}^T = [y_n, y_{n-1}, \dots, y_{n-2L}] , \quad (2.58)$$

$$\mathbf{w}^T = [w_n, w_{n-1}, \dots, w_{n-2L}] ,$$

iar \mathbf{b} reprezintă vectorul coeficienților de autoregresie

$$\mathbf{b}^T = [1, b_1, \dots, b_{2L}] \quad (2.59)$$

Se înmulțesc la stânga cele două termeni din relația (2.57) cu vectorul \mathbf{y} și la dreapta operatorul de mediere pe

ensamblu. Se obține

$$\mathbb{E} [yy^T] b = \mathbb{E} [yw^T] b . \quad (2.60)$$

Matricea

$$\mathbb{E} [yy^T] = \begin{bmatrix} R_{yy}(0) & \dots & R_{yy}(-2L) \\ \vdots & \ddots & \vdots \\ \vdots & & \vdots \\ \vdots & & \vdots \\ R_{yy}(2L) & \dots & R_{yy}(0) \end{bmatrix} \quad (2.61)$$

este matricea autocorelație a procesului și este de tip Toeplitz.

Dacă se face notăția

$$x^T = [x_1, x_{n-1}, \dots, x_{n-2L}] ,$$

se obține

$$\mathbb{E} [yw^T] = \mathbb{E} [(...)(w^T)] = \mathbb{E} [ww^T] = \sigma_w^2 I , \quad (2.62)$$

unde I este matricea unitate.

In relația (2.60) s-a avut în vedere că $\mathbb{E} [ww^T] = 0$ deoarece sinusoidele nu sunt corelate cu zgomotul.

Din relațiile (2.5c), (2.61) și (2.62) rezultă

$$R_{yy} b = \sigma_w^2 b \quad (2.63)$$

Se observă că dispersia zgomotului este o valoare proprie a matricei de autocorelație, iar vectorul coeficienților de autoregresie este vectorul propriu asociat valorii proprii σ_w^2 și numai astfel încât primul element să fie egal cu una.

Relația (2.63) permite estimarea coeficienților de autoregresie b_k , $k = -L, \dots, L$. Dacă secvența de autocorelație $\{R_{yy}(k)\}$, $k = -L, \dots, L$ se cunosc teorect este posibilă

lă determinarea exactă a coeficienților de autoregresie și implicit a celor lă frecvențe. Amplitudinile A_k ale sinusoidelor și dispersia σ_w^2 rezultă din relațiile

$$R_{yy}(0) = \sigma_w^2 + \sum_{i=1}^L \frac{A_i^2}{2},$$

$$R_{yy}(k) = \sum_{i=1}^L \frac{A_i^2}{2} \cos(2\pi f_k nT), \text{ pentru } k \neq 0, \quad (2.64)$$

unde T reprezintă pasul de aşezare. Deoarece s-a presupus că se cunoaște numai secvența de autocorelație, informațiile privind fazele sinusoidelor nu există.

In cazul în care nu se cunoaște numărul de sinusoide L, dar se cunoaște exact secvența de autocorelație se rezolvă (2.63) pentru ordine L. Această pînă cînd dispersia σ_w^2 este valoarea minimă și rămîne constantă, ceea ce indică valoarea corectă a lui L. În cazurile practice se cunosc doar estimări ale secvenței de autocorelație, astfel încît ordinul L se alege corespunzător variației minime a mărimii σ_w^2 , rezultată prin rezolvarea ecuației (2.63) pentru ordin L succese-

In cele ce urmează se prezintă un algoritm care reduce calculele necesare rezolvării ecuației (2.63) și care utilizează structura Toeplitz a matricei de autocorelație R_{yy} . Într-un astfel de proces se precizează că dispersia σ_w^2 este o valoare proprie a matricei R_{yy} , iar b este un vector propriu asociat valoarei proprii σ_w^2 . Se arată /33/ că pentru un proces format din L sinusoide în zgârcit săb, σ_w^2 corespunde valoarei proprii minime a matricei de autocorelație R_{yy} , cînd dimensiunea minimă a acesteia este $(2L+1) \times (2L+1)$. Valoarea proprie minimă a matricei R_{yy} și vectorul propriu corespondător pot fi determinate prin metoda puterii /5/ în care secvența de vectori

$$b(k+1) = R_{yy}^{-1} \cdot b(k), \quad k = 0, 1, \dots \quad (2.65)$$

converge la limită spre vectorul propriu corespunzător valo-
rii proprii minime, pentru $b(0)$ aleas inițial.

Relația (2.65), scrisă sub forma

$$R_{yy} b(k+1) = b(k), \quad (2.66)$$

se rezolvă obținind vectorul $b(k+1)$ în funcție de vectorul $b(k)$. Rezolvarea sistemului (2.66) prin metoda eliminării Gauss necesită un număr de operații elementare de ordinul M^3 . Dacă se utilizează algoritmi de rezolvare a sistemului (2.66) care valorifică structura Toeplitz a matricei R_{yy} /11/, numărul de operații elementare este de ordinul M^2 . Se recomandă /24/ alearea inițială

$$b^T(0) = [1, \dots, 1].$$

Vectorul $b(\infty)$ se obține în general după cîteva iterații. Dacă vectorul coeficienților de autoregresie b este determinat, se poate obține dispersia σ_w^2 ca valoare proprie minimă a matricei R_{yy}

$$\sigma_w^2 = \frac{b^T R_{yy} b}{b^T b} \quad (2.67)$$

Determinarea coeficienților de autoregresie b permite determinarea frecvențelor sinusoidelor, prin intermediul rădăcinilor polinoamei caracteristică (2.32) și a relației (2.41).

Avînd în vedere relația (2.64), determinarea amplitudinilor sinusoidelor se face cu sistemul de ecuații

$$F_p = r, \quad (2.68)$$

unde

$$F = \begin{bmatrix} \cos(-\pi f_1 t_1) & \dots & \cos(-\pi f_L t_1) \\ \vdots & & \vdots \\ \vdots & & \vdots \\ \cos(-\pi f_1 t_T) & \dots & \cos(-\pi f_L t_T) \end{bmatrix},$$

$$\mathbf{p}^T = \left[\frac{A_1^2}{2}, \dots, \frac{A_L^2}{2} \right]^T,$$

$$\mathbf{r}^T = [R_{yy}(1), \dots, R_{yy}(L)].$$

Dispersia zgomerului se determină din relația

$$\sigma_w^2 = R_{yy}(0) - \sum_{j=1}^L \frac{a_j^2}{2} \quad (2.69)$$

Din cele prezentate rezultă că în cadrul metodei descompunerii armonice Pisarenko, estimarea numărului de sinusoide se face prin rezolvarea succesivă a ecuației (2.63) pentru ordinări crescătoare și analiza disperșiilor σ_w^2 rezultante. Această metodă necesită un volum mare de calcul și, deoarece în practică sînt utilizate estimări ale secvenței de autocorelație, se pot obține estimări greșite ale numărului de sinusoide. Dacă numărul de sinusoide estimat este prea mare sau par componente sinusoidale false. Dacă numărul de sinusoide estimat este prea mic se obțin erori mari la estimarea frecvențelor sinusoidelor. Deoarece procesul compus din sinusoide în zgomer este dat prin secvență de date $\{y_n\}$, $n = 1, 2, \dots, N$, se pot calcula estimări și altă secvență de autocorelație /16/ /23/

$$\hat{R}_{yy}(k) = \frac{1}{N - |k|} \sum_{n=0}^{N-|k|-1} y_{n+k} y_n, \text{ pentru } |k| < N \quad (2.70)$$

$$\hat{R}_{yy}^*(k) = \frac{1}{N} \sum_{n=0}^{N-|k|-1} y_{n+k} y_n, \text{ pentru } |k| < N. \quad (2.71)$$

Estimatorul $\hat{R}_{yy}(k)$ este nedeplasat, iar estimatorul \hat{R}_{yy}^* este deplasat /44/, 74. Aplicînd operatorul de medi

estimatorului deplasat se obține

$$E[\hat{R}_{yy}(k)] = \frac{1}{M-k} R_{yy}(k) . \quad (2.72)$$

Rezultă că media secvenței de autocorelație $\hat{R}_{yy}(k)$ corespunde secvenței de autocorelație adevărată $R_{yy}(k)$ ponderată cu fereastra triunghiulară /14/. Dacă în cadrul metodei descompunerii armonice Pisarenko se utilizează estimatorul nedeplasat al secvenței de autocorelație $\hat{R}_{yy}(k)$, matricea de autocorelație nu rezultă în mod necesar pozitiv definită, ceea ce poate conduce la valori proprii negative și la estimări rău sens pentru frecvențe. În cazul utilizării estimatorului deplasat \hat{R}_{yy} , matricea de autocorelație rezultă pozitiv definită, dar ponderarea secvenței de autocorelație cu fereastra triunghiulară conduce la estimări eronate ale frecvențelor și la introducerea unor componente de frecvență falsă /2.4/.

2.4.2. Estimarea coeficientilor de autoregresie în funcție de secvențe de date

Se consideră un proces format din n sinusoidă în zgomot aditiv din care să fie extinsă secvența de date

$$y_n = x_n + w_n, \quad n=1, 2, \dots, n. \quad (2.73)$$

Secvența $\{x_n\}$, $n=1, 2, \dots, n$ corespunde aceluiași proces în absența zgomotului, iar w_n reprezintă un egzonom al secvenței de zgomot.

Se pune problema estimării coeficientilor de autoregresie

$$\mathbf{b} = [b_0, b_1, b_2, \dots, b_M]^T, \quad b_0 = 1 \quad (2.74)$$

în funcție de secvențe de date $\{y_n\}$, $n=1, 2, \dots, n$ și a ne-

cesita estimarea sevenței de autocorelație, ca în cazul metodei descompunerii simetrică Risarenko.

In paragraful 1.2. a demonstrat că rădăcinile polinomului caracteristic

$$P(z) = \sum_{m=0}^{2L} b_m z^{2m-L}, \quad (2.75)$$

permis determinarea frecvențelor sinusoidelor. Rădăcinile polinomului $P(z)$ se numesc rădăcini adevărate.

Relația (2.25) poate fi scrisă sub formă

$$\sum_{m=0}^{2L} b_m x_{n-m} = 0, \quad b_0 \neq 1 \quad (2.76)$$

de unde rezultă că vectorul coeficienților de autoregresie este ortogonal pe orice vector x format din $2L+1$ esențioane consecutive ale sevenței $\{z_n\}$, $n = 1, 2, \dots, N$.

Se definește G_L ca matricea

$$G_L = \begin{bmatrix} b_0 & b_1 & \dots & b_{2L} & 0 & 0 & \dots & 0 \\ 0 & b_0 & \dots & b_{2L-1} & b_{2L} & 0 & \dots & 0 \\ \dots & \dots \\ 0 & 0 & \dots & 0 & b_0 & \dots & \dots & b_{2L} \end{bmatrix}^T \quad (2.77)$$

dimensiunea $(L+1) \times (L+1 - 2L)$. Deoarece coloanele matricii G_L sunt liniar independent rezultă că rangul ei este egal cu $L+1-2L$. Se demonstrează că 1/ că orice vector

$$c_t = [c_0, c_1, \dots, c_L]^T, \quad (2.78)$$

are apartinere spațiului \mathbb{R}^L și generat de liniile matricii G_L^T , adică

$$c_t = G_L^T s, \quad (2.79)$$

cu

$$s = [s_0, s_1, \dots, s_{L-2k}]^T$$

un vector corect, conduce la polinomul caracteristic

$$P_L(z) = \sum_{m=0}^L c_m z^{L-m}, \quad (2.30)$$

care are rădăcinile adevărate ale polinomului $P(z)$, precum și $L-2k$ rădăcini suplimentare. Aceste rădăcini suplimentare sunt date de polinomul

$$P_{L-2k}(z) = \sum_{m=0}^{L-2k} d_m z^{L-2k-m}. \quad (2.31)$$

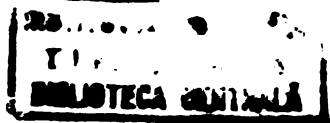
Deoarece în entele vectorului s sunt reale rezultă că și rădăcinile în între sătări sătări sătări perechi complex conjugate.

Se deduce că cînd spațiul liniar generat de liniile matricei G_L^T este ortogonal pe orice vector format din $L+1$ eșantioane consecutive ale secvenței $\{x_n\}$, $n = 1, 2, \dots, N$. Considerind vectorul c_t ca aparținind acestui spațiu liniar și definit prin relațiile (2.78), (2.79) rezultă

$$\sum_{m=0}^L c_m x_{t+m}. \quad (2.82)$$

In cazul $t = L-2k$, relația (2.82) devine identică cu relație (2.77). În particular, în relație (2.77) vectorul c_t poate fi scris ca oricare din liniile matricei G_L^T . Dacă se consideră trices de date directe

$$A_d = \begin{bmatrix} x_{t+L} & x_L & \cdots & x_1 \\ x_{t+L-1} & x_{L-1} & \cdots & x_2 \\ \vdots & \vdots & & \vdots \\ \vdots & \vdots & & \vdots \\ \vdots & x_{t+1} & & x_{t+L-1} \end{bmatrix}, \quad (2.83)$$



din relația (2.82) se obține

$$A_d G_L = 0 \quad (2.84)$$

Rezultă că spațiul liniar generat de liniile matricei G_L^T este identic cu spațiul nul al matricei A_d sau $A_d^T A_d$. Spațiul nul al matricei A_d este definit /30/ ca mulțimea tuturor vectorilor c_t care satisfac relația

$$A_d c_t = 0 \quad ; \quad (2.85)$$

Deci, orice soluție a sistemului de ecuații liniare (2.85) conduce la un polinom caracteristic $P_L(z)$ definit prin relația (2.80), care are ca rădăcinile adăugările ale polinoamului $P(z)$ dat prin relația (2.75), precum și un număr de $L-2n$ rădăcini suplimentare.

Având în vedere simetria coeficientilor de autoregresie b în cazul unui proces format din sinusoide, se deduce că spațiul nul al matricei A_d date inverse

$$A_1 = \begin{bmatrix} x_1 & x_2 & \cdots & x_{L+1} \\ x_2 & x_3 & \cdots & x_{L+2} \\ \vdots & \vdots & & \vdots \\ \vdots & \vdots & & \vdots \\ \vdots & \vdots & & \vdots \\ x_{N-L} & x_{N-L+1} & \cdots & x_N \end{bmatrix} \quad (2.86)$$

este identic cu spațiul nul al matricei de date directe A_d . Rezultă că și spațiul nul al matricei de date directe-inversoare

$$A_{di} = \begin{bmatrix} A_1 \\ A_d \end{bmatrix} \quad (2.87)$$

cointinde cu spațiul nul al matricei de date directe A_d . Cu

alte cuvinte, în cazul unui proces format din sinusoide, sistemul de ecuații liniare (2.85) este echivalent /34/ cu sistemele

$$A_i c_t = 0, \quad (2.88)$$

$$A_{di} c_t = 0, \quad (2.89)$$

adică au aceleși soluții.

Se consideră din spațiul nul al matricei A_0 vectorii c_t simetrici, căci

$$c_t = [c_0, c_1, \dots, c_L]^T, \quad c_n = c_{L-n} \quad (2.90)$$

pentru $n=0, 1, \dots, L$. Dacă se face notația

$$c = [c_0, c_1, \dots, c_{L/2}]^T, \quad (2.91)$$

sistemul de ecuații liniare (2.85) devine

$$A_B c = 0, \quad (2.92)$$

unde A_B este matricea de date sau

$$A_B = \begin{bmatrix} x_{1+1} & x_{L+1} + x_2 & \cdots & x_{L/2+1} \\ x_{1+2} & x_{L+1} + x_3 & \cdots & x_{L/2+2} \\ \vdots & \vdots & \ddots & \vdots \\ \vdots & \vdots & \ddots & \vdots \\ x & x_{n-1} + x_{n-L+1} & \cdots & x_{n-L/2} \end{bmatrix}. \quad (2.93)$$

In cazul în care $L=2n$ și vectorul c_t este simetric, relația (2.82) devine identică cu relația (2.76), cu coeficienții b_m simetriți. Aceasta corespunde unui proces format din sinusoide. Dacă eșe vectorii c_t simetrici reprezintă un

subspațiu al spațiului nul al matricei A_d , rezultă că orice soluție a sistemului de ecuații liniare (2.92) va conduce la un polinom caracteristic $\lambda_L(z)$ cu $2L$ rădăcini adevărate și $L-2L$ rădăcini suplimentare. Rădăcinile adevărate permit calculul frecvențelor celor L sinusoide. Rezultă că determinarea coeficienților polinoamului se poate face prin rezolvarea sistemelor de ecuații liniare (2.84), (2.83), (2.89) sau (2.91). Se observă că sistemul (2.91) este de dimensiuni mai mici decât celelalte, ceea ce conduce la reducerea calculelor necesare soluționării.

Prezența zgombotului auditiv în procesul format din sinusoide conduce la obținerea prin egale ionare a secvenței $\{y_n\}$, $n = 1, 2, \dots, N$ legată de secvența $\{x_n\}$ prin relația (2.73). Astfel, matricile de date se vor construi conform relațiilor (2.83), (2.86), (2.87) și (2.93), în care egaletoanele x_n sunt înlocuite cu egaletoanele y_n . În acest caz soluționarea sistemelor (2.84), (2.83), (2.89) și (2.92) reprezintă probleme de rezolvare a sistemelor de ecuații liniare supradeterminate /5/ .

Din cele prezente mai sus, rezultă că, dacă $L > 2L$, polinomul caracteristic $\lambda_L(z)$ are cele $2L$ rădăcini adevărate și $L-2L$ rădăcini suplimentare, se afirmează /21/, /23/, /32/ că în prezența zgombotului, rădăcinile suplimentare au un efect de absorbție a acestuia, astfelind rădăcinile adevărate. Astfel, introducerea rădăcinilor suplimentare prin estimarea unui vector al coeficienților autoregresie c_t de dimensiune $(L+1)$ mai mare decât dimensiunea $(2L+1)$ a vectorului b (2.74), este o practică comună care conduce la estimării mai bune pentru frecvențe. Se recomandă /32/ ca numărul L să se facă conform relației

$$\frac{N}{3} \leq L \leq \frac{N}{2}, \quad (2.94)$$

pentru a obține estimăriile cele mai bune pentru frecvențe. În relația (2.94) numărul N reprezintă lungimea secvenței de date $\{y_n\}$. Separarea rădăcinilor adevărate de cele suplimentare se

poate face pe baza unor informații suplimentare despre proces, în afara sevenței de date $\{y_n\}$, sau prin determinarea a două soluții pentru sistemele de ecuații supradeterminate și identificarea rădăcinilor adăvărate ca rădăcini comune corespunzătoare celor două soluții. Pentru un proces format din L sinusoidale în zgâriat se propune, în prezenta lucrare, utilizarea algoritmului de reducere. Aceste constă în determinarea spațiului nul al matricilor A_d , A_j sau A_{dj} și identificarea acestuia cu subspațiul generat de liniile matricei G_L^T . Spațiul nul al matricilor A_d , A_j sau A_{dj} este determinat dacă se cunosc $(L+1-2L)$ vectori liniar independenti aparținând spațiului. Cu acești vectori se construiește o matrice G^T având ca liniile acești vectori. Matricea G^T este de aceeași dimensiune cu matricea G_L^T definită prin relație (2.77). Pentru a determina coeficientii de autoregresie b , care permit rădăcinilor adăvărate ale polinomului caracteristic, se urmărește transformarea matricei G^T în forma matricei G_L^T , prin algoritmul de reducere. În acest scop se aduce matricea G^T în formă trapezoidală superioră, producind un triunghi de zerouri în colțul din stînga jos, prin eliminare Gauss directă cu pivotare parțială /5/, /63/. În matrice obținută se produce un triunghi de zerouri în colțul din dreapta sus prin eliminare Gauss inversă fără permutearea liniilor matricei. Se obține o matrice de formă matricei G_L^T cu liniile multiple cu niște constante. Se eliniază liniile matricei G^T eliminând zerourile. Matricea rezultată (de dimensiune $(L+1-2L) \times (L+1)$) este de rang unu, în absența perturbațiilor. Liniile matricei Q sunt colineare și oricare poate fi luată ca b^T pentru calculul rădăcinilor adăvărate ale polinomului caracteristic. În prezența perturbațiilor se alege b ca vectorul propriu corespondator valorii proprii maxime a matricei G^T , ceea ce echivalează cu aplicarea matricei Q cu o matrice de rang unu. Calculul vectorului propriu se poate face cu metoda puterii /5/, /63/, sau prin utilizarea descompunerii valorilor singulare a matricei Q .

In cele ce urmează se vor analiza metodele de rezolvare a unui sistem de ecuații liniare supradeterminat.

$$Ax = 0, \quad (2.95)$$

unde A este o matrice cu dimensiunea $I \times J$, de rang R și x este un vector cu dimensiunea J . Pentru ca sistemul de ecuații liniare (2.95) să fie supradeterminat se impune

$$I > J > R. \quad (2.96)$$

O primă metodă de rezolvare a sistemului de ecuații liniare supradeterminat (2.95) începe prin înlăturarea unui număr de $I-R$ linii ale matricei A obținând astfel o matrice B cu dimensiunea $R \times J$. S-a măsurat numărul maxim de linii astfel încât rangul matricei B să fie egal cu R . Se obține sistemul

$$Bx = 0. \quad (2.97)$$

Se trec în parte din sistemul (2.97) un număr de $J-R$ coloane ale matricei B . Se obține sistemul

$$B_s x_s = -B_d x_d, \quad (2.98)$$

unde :

- B_s este o matrice patrată nesingulară cu dimensiunea $R \times R$, formată din R coloane ale matricei B ,

- B_d este o matrice cu dimensiunea $R \times (J-R)$, formată din $J-R$ coloane ale matricei B ,

- x_s este un vector cu dimensiunea R , format din elementele vectorului x ce corespund cu coloanele matricei B_s ,

- x_d este un vector cu dimensiunea $J-R$, format din elementele vectorului x ce corespund cu coloanele matricei B_d .

Rezolvarea sistemului (2.98) constă în alegerea arbitrară a vectorului x_d și în determinarea vectorului x_s cu relația

$$x_s = -B_s^{-1} B_d x_d. \quad (2.99)$$

Soluția x a sistemului (2.95) se obține din vectorii x_s și x_d . Alegerea arbitrară a vectorului x_d indică faptul că soluția este oricare dintr-un spațiu liniar cu dimensiunea $J-R$.

Această metodă este bună numai în cazul în care elementele matricei A nu sunt afectate de perturbații și calculele efectuate sunt exacte. În cazul în care apar perturbații este nejustificat să lăturarea unui număr de $I-R$ linii ale matricei A , ceea ce înseamnă utilizarea incompletă a datelor continute în matricea A .

O a doua metodă de rezolvare a sistemului de ecuații liniare supradeterminat (2.95) porneste de la faptul că spațiul nul al matricei A este același cu spațiul nul al matricei $A^T A$. Matricea $A^T A$ este patrată cu dimensiunea $J \times J$. Rezultă că soluția sistemului (2.95) coincide cu soluția sistemului

$$A^T A x = 0 \quad (2.100)$$

Din matricea $A^T A$ se înlătură $J-k$ linii obținindu-se o matrice B cu care se operează în fel ca și în prima metodă prezentată. Această a doua metodă este o procedură de rezolvare a sistemului de ecuații liniare supradeterminat în sensul celor mai mici patrate.

Din relația (2.96) rezultă că rezolvarea sistemului (2.100) necesită înlăturarea unui număr mai mic de linii ale matricei decât în cazul rezolvării sistemului (2.95). De asemenea, rezolvarea sistemului (2.100) presupune utilizarea integrală a datelor. Totuși, datele nu sunt tratate uniform în sensul că liniiile matricei $A^T A$ care se înlătură, precum și coloanele matricii rezultante care se transferă în dreapta sistemului, sunt arbitrar. Aceasta înseamnă că datele continute în matricea A nu au contribuții egale în stabilitatea soluției. În situație în care datele sunt afectate de perturbații există posibilitatea obținerii unei soluții deplasate din punct de vedere statistic.

In cele ce urmăreză se tratează această metodă pentru cazul în care

$$J = k+1 \quad (2.101)$$

Soluția sistemului (2.100) este de forma

$$x = \lambda x_0,$$

unde λ este un număr arbitrar, iar x_0 este un vector. Matricea B_d din relația (2.98) este un vector care se notează cu b_d , iar vectorul x_d este un scalar. Dacă se alege acest scalar ca ultim element al vectorului x , matricea B din (2.97) se separă conform relației

$$B = [B_s ; b_d]. \quad (2.102)$$

Soluția sistemului (2.102) este

$$x^T = [x_s^T ; x_d].$$

Din relația (2.102) se obține

$$x^T = [(-B_s b_d)^{-1} \quad 1] x_d, \quad (2.103)$$

unde x_d este un scalar arbitrar.

Se separă matricea A conform relației

$$A = [A_s ; a],$$

unde a este un vector format din ultimele coloane a matricei A . Deoarece la formarea matricii B se elimină numai ultima linie a matricei $A^T A$, în condiția (2.103), se obține

$$B_s = A_s^T A_s^{-1},$$

$$b_s = A_s^T a.$$

Soluția finală a sistemului de ecuații liniare supradeterminat $Ax = 0$, cu $x = [x_s \quad x_d]$, este

$$x^T = [(-A_s^T A_s)^{-1} \quad A_s^T a]^{-1} ; 1] x_d, \quad (2.104)$$

pe x_d un scalar arbitrar. Acest procedeu de rezolvare a sistemului în sensul celor mai mici patrate, pentru cazul particular precizat, se numește metoda covariantei /21/, /36/.

O a treia metodă de rezolvare a sistemului de ecuații liniare supradeterminat (2.95) constă în utilizarea descompunerii valorilor singulare DVS. Teorema referitoare la DVS a fost prezentată în paragraful 2.3. Astfel, matricea A de rang k , cu dimensiunea $I \times J$, poate fi scrisă sub forma

$$A = U \Sigma V^T . \quad (2.105)$$

Matricea Σ cu dimensiunea $I \times J$ este diagonală, având elementele de pe diagonala principala

$$\sigma_1 \geq \sigma_2 \geq \dots \geq \sigma_k > \sigma_{k+1} = \sigma_{k+2} = \dots = 0,$$

numite **valori singulare**. Matricile U și V , cu dimensiunile $I \times I$ și respectiv $I \times J$, sunt ortogonale, adică $U^T \cdot U^{-1}$ și $V^T = V^{-1}$.

Dacă în sistemul (2.95) se utilizează descompunerea valorilor singulare pentru matricea A se obține

$$U \Sigma V^T x = 0 . \quad (2.106)$$

Prin mulțumirea la stinge a relației (2.106) cu matricea U^T rezultă

$$\Sigma \alpha = 0 , \quad (2.107)$$

unde s-a notat

$$\alpha = V^T x . \quad (2.108)$$

Având în vedere forma diagonală a matricei Σ , se obține

$$\alpha^T = [0, \dots, 0, d^T], \quad (2.109)$$

unde d este un vector arbitrar cu dimensiunea $J-k$.

Din relații (2.108) și (2.109) se obține soluția sistemului de ecuații supradeterminat

$$x = V \alpha = V^T d , \quad (2.110)$$

unde matricea V_d este constituită din ultimele J-R coloane ale matricei V. Rezultă că soluție sistemului $Ax = o$ este compusă din spațiul liniar generat de ultimele J-R coloane ale matricei V.

Dacă datele continute în matricea A sunt afectate de perturbații, rangul matricei A crește peste valoarea R. Astfel, numărul valorilor singulare diferite de zero, rezultate din DVS a matricei A, este mai mare decât R. Se definește pentru matrice A afectată de perturbații aproximarea de rang R prin relația

$$A_R = U \Sigma_R V^T \quad (2.111)$$

unde matricea Σ_R se obține din matricea Σ prin anularea tuturor valorilor singulare cu excepția primelor R valori, cele mai mari. Matricea A_R este cea mai apropiată matrice cu rangul R de matricea A, spațierea măsurată în sensul normei spectrale sau Frobenius /6/. Norma spectrală a fost definită în paragraful 2.3, iar norma tracială Frobenius este definită prin relația

$$\|A\|_F = \left(\sum_{i=1}^I \sum_{j=1}^J |a_{ij}|^2 \right)^{1/2}. \quad (2.112)$$

Rezultă că este legătură între estimarea spațiului nul al matricei A cu spațiul nul al matricei A_R , care este generat de ultimele J-R coloane ale matricei V.

Utilizarea descompunerii valorilor singulare la soluționarea sistemelor de ecuații liniare supradeterminate este avantajoasă în condițiile existenței zgromaditării și a erorilor de calcul /21/. Astfel, se poate, în lucrarea de față estimarea coeficientilor de autoregression pentru un proces compus din sinusoidă în zgromadită, prin spațiul liniar generat de ultimele coloane ale matricei V. Obținând soluție sistemului sub formă a spațiului liniar, rezultă și posibilitatea aplicării algoritmilor de reducere pentru obiecte numai a frecvențelor adecvate.

Pentru aplicarea metodelor de rezolvare a sistemului de ecuații liniare supradeterminat $n \neq m$, metode prezentate mai sus, la rezolvarea sistemelor (2.85), (2.88), (2.89) și (2.92), se preiau în tabelul 2.1 corespondența între dimensiunile și proprietățile matricilor, în absența perturbațiilor.

Matrice	Nr.linii	Nr.coloane	Prop
A	1	3	.
A_d	$N-L$	$L+1$	2.a
A_i	$N-L$	$L+1$	2.a
A_{di}	$2(N-L)$	$L+1$	2
A_s	$N-L$	$L/2+1$.

Tabelul 2.1

În col. 1 se constată că problema esențială corespunzătoare unui proces format din sinusoide, se reduce la rezolvarea unui sistem de ecuații liniare supradeterminat. Soluția unui astfel de sistem nu este unică, ci este constituită dintr-unul nul al matricii de date. Iată matricile de date sălătate construite cu $b=2L$, soluția sistemului se obține ca produsul cu un vector și e constantă arbitrară. O soluție unică nu poate exista dacă se impune valoarea unuia din trece coeficienții de regresie. Construirea matricilor de date cu $b > 2L$ este cea ce le obținem oțor estimări mai bune pentru rădăcinile polinomului caracteristic, deci implicit perioadele frecvențele sinusoidelor. În acest caz, soluția sistemului de ecuații liniare supradeterminat $A_d^{ct}=0$, $A_i^{ct}=0$ și $A_{di}^{ct}=0$ este un spațiu linier de dimensiune

($L+1-2m$), iar soluția sistemului $A_g c=0$ este un spațiu liniar de dimensiune $(L/2+1-m)$. Identificarea rădăcinilor adevărate se poate face pe baza unei informații suplimentare, sau prin determinarea a doi vectori soluție și identificarea rădăcinilor comune ale polinoamelor caracteristice corespunzătoare celor doi vectori. Pentru sistemele cu matricile A_d , A_i , A_{di} se poate utiliza algoritmul de reducere, care conduce la obținerea unui vector soluție de dimensiunea $L+1$. Rădăcinile adevărate se obțin din polinomul caracteristic construit ca acest vector.

Soluționarea sistemelor de ecuații liniare supradeterminate se face, în sensul celor mai mici patrate, prin metoda covariantei sau prin utilizarea descompunerii valorilor singulare. Se prezintă în [33], [40], un algoritm eficient care corespunde soluționării sistemului

$$A' c' = 0, \quad (2.113)$$

în sensul celor mai mici patrate. În relația (2.113) matricea A' este

$$A' = \begin{bmatrix} y_1 + y_{L+1} & y_2 + y_L & \cdots & 2y_{L/2+1} \\ y_2 + y_{L+2} & y_3 + y_{L+1} & \cdots & 2y_{L/2+2} \\ \vdots & \vdots & & \vdots \\ \vdots & \vdots & & \vdots \\ y_{N-L} + y_N & y_{N-L+1} + y_{N-1} & \cdots & 2y_{N-L/2} \end{bmatrix} \quad (2.114)$$

Rezultă vectorul c' în forma

$$c' = [c_0, c_1, \dots, c_{L/2-1}, c_{L/2}/2]^T. \quad (2.115)$$

Algoritmul utilizează structura Toeplitz plus Hankel a matricei A' . O soluție unică se obține impunând $c_{L/2}=1$. Numărul de operații elementare necesare aplicării algoritmului

este de ordinul $(n/\varepsilon)^2$. Algoritmul permite obținerea simultană a soluțiilor pentru toate ordinele 1, 2, ..., L/ε . Prin urmărirea erorii patratice rezultate pentru ordine succesive, se poate selecta ordinul de la care eroarea patratice scade nesemnificativ. Astfel se poate estima numărul de sinusoide ce compun procesul /39/.

Utilizarea descompunerii valorilor singulare la soluționarea sistemelor de ecuații liniare supradeterminate este avantajoasă în condițiile existenței unor erori și a erorilor de calcul /21/. Evidența acestor perturbații este indicată prin sparirea valorilor singulare mici. Din analiza valorilor singulare este posibilă determinarea rangului matricei de date, deci implicit numărului de sinusoide ce compun procesul. Algoritmul de calcul al descompunerii valorilor singulare este extrem de eficient și stabil. /5/, /12/, /25/.

3. METODA CĂRTEZATĂ DE ESTIMARE A LINIILOR SPECTRALE

In acest capitol se prezintă o metodă originală care permite îmbunătățirea cărților pentru frecvențele sinusoidelor. Se consideră un proces format din L sinusoide în zgomot aditiv și disponibil într-o echantionare pe intervalul de timp Δt . Alegerea numărului de echantioane și ce se prelevează pe intervalul de timp Δt , face astfel încât, pentru estimarea coeficientilor de ecuații liniare supratâncă, să cunoască mic față de limitea casul în care intervalul

Se consideră mai multe de față la estimare părților unui proces fără zgomot. Pentru a obține un sistem cu matricea A_g , se dines-

ce rezie, să se obțină un sistem. În cale ce urmează se arată obținerea unei posibile echantionării, în care Δt este scurt.

Sunt date A_g , utilizată în lucrările anterioare, și echantionarea corespunzătoare sinusoidelor în zgomot aditiv. Ecuații liniare supradeterminante ($n > L$) și ($n/L+1$), se impune

$$N-L > \frac{L}{2} + 1 . \quad (3.1)$$

Rezultă că numărul anticanei n , care se preleveză, trebuie să satisfacă

$$N > \frac{3}{2} L + 1 . \quad (3.2)$$

Din teorema echantionării se obține /44/

$$T \leq \frac{1}{2 f_{kmax}} , \quad (3.3)$$

unde 1 reprezintă pasul

echantionare, iar f_{kmax} reprezintă

frecvență maximă conținută de procesul considerat. Având în vedere că procesul este disponibil pentru eșantionare pe intervalul Δt , se obține

$$T = \frac{\Delta t}{N-1} . \quad (3.4)$$

Din relațiiile (3.3) și (3.4) rezultă

$$N \gg 2 \Delta t T_{\text{MAX}} + 1 . \quad (3.5)$$

Relația (3.5) reprezintă condiție impusă numărului de eșantioane de teorema eșantionării. Dacă intervalul de timp Δt este scurt, li se impunează pentru îl prin relație (3.5) este mai mică decât limita impusă de condiția de supradeterminare (3.2). În fel, alegind numărul de eșantioane N_1 , conform condiției (3.2), rezultă

$$N_1 \gg 2 \Delta t T_{\text{MAX}} + 1 . \quad (3.6)$$

Dacă se tează cu T_1 pasul de eșantionare rezultat, se obține

$$T_1 = \frac{\Delta t}{N_1 - 1} . \quad (3.7)$$

Din relațiiile (3.6) și (3.7) se obține

$$T_1 \ll \frac{1}{2 \frac{1}{T_{\text{MAX}}}} . \quad (3.8)$$

Rezultă, din cele prezentate mai sus, că alegerea numărului de eșantioane din condiția de supradeterminare conduce la un pas de eșantionare îc față de valoarea limită impusă de teorema eșantionării, într-un proces disponibil pe un interval de timp scurt.

3.1. Erori de estimare a frecvențelor sinusoidelor

In cele ce urmează se analizează erorile ce apar la estimarea frecvențelor sinusoidelor ca rădăcini ale polinomului caracteristic

$$P(z) = \prod_{k=1}^M (z - z_k)(z - z_k^*). \quad (3.9)$$

Conform demonstrației din paragraful 2.2, relațiile (2.39) și (2.40), polinomul caracteristic are rădăcinile

$$z_k = e^{j2\pi f_k T}, \quad k = 1, 2, \dots, M \quad (3.10)$$

$$z_k^* = e^{-j2\pi f_k T}, \quad k = 1, 2, \dots, M \quad (3.11)$$

Astfel, relația (3.9) poate fi scrisă sub forma

$$P(z) = \prod_{k=1}^M (z^2 + a_k z + 1), \quad (3.12)$$

unde

$$a_k = -(e^{j2\pi f_k T} + e^{-j2\pi f_k T}).$$

Rezultă

$$a_k = -2 \cos 2\pi f_k T, \quad k = 1, 2, \dots, M. \quad (3.13)$$

Relația (3.13) permite calculul frecvențelor sinusoidelor în funcție de coeficienții a_k . Se pune problema de a determina eroarea de determinare a frecvenței f_k în funcție de eroarea de estimare a coeficientului corespunzător a_k . Din (3.13) se obține

$$\Delta a_k = \frac{\partial (-\cos 2\pi f_k T)}{\partial f_k} \Delta f_k . \quad (3.14)$$

Rezultă succesiiv

$$\Delta a_k = 4\pi T (\sin 2\pi f_k T) \Delta f_k$$

$$\Delta f_k = \frac{1}{4\pi T \sin 2\pi f_k T} \Delta a_k \quad (3.15)$$

Reprezentarea grafică a relației (3.15), pentru Δa_k constant și T constant, este dată în fig.3.1.

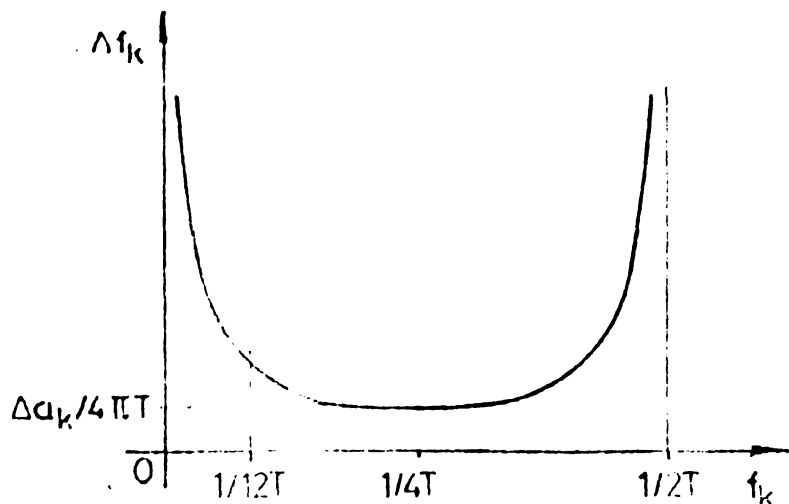


Fig.3.1

S-a considerat, pentru f_k , domeniul de frecvență delimitat de teorema eșantionării /5/

$$f_k \leq \frac{1}{2T} \quad (3.16)$$

Se observă, în figura 3.1, că eroarea Δa_k se estimează cu coeeficientul $1/f_k$ este multiplicată cu atât și mult

cu cît frecvența f_k este mai apropiată de limitele intervalului delimitat de teorema egantionării. Rezultă că, pentru erori de estimare a coeficienților de autoregresie constante, estimatiile pentru frecvențe mici și mari din intervalul specificat rezultă cu eroare mari.

Considerind procesul format din L sinusoide în zgomet se constată că pe durată Δt a prelevării secvenței de date $\{y_n\}$, $n = 1, 2, \dots, N$, frecvențele mari sunt egantionate pe mai multe perioade decât frecvențele mici. Pentru un interval de timp Δt scurt, frecvențele mici sunt egantionate pe mai puțin de o perioadă. Aceasta conduce la obținerea unor estimări mai bune pentru coeficienții a_k corespunzători frecvențelor mari în comparație cu estimările pentru coeficienții a_k corespunzători frecvențelor mici.

Din cele prezente rezultă că, la estimarea frecvențelor sinusoidelor în funcție de secvența de date prin utilizarea modelului autoregresiv, erori de estimare mari se obțin pentru frecvențele mult mai mari în comparație cu frecvențele de egantionare (fig. 3.1).

$$f_k < \frac{1}{12T} = \frac{f_e}{12} \quad (3.10)$$

Această concluzie este susținută prin rezultatele experimentului 2 (capitolul 4), în care se consideră un proces format din cinci sinusoide în zgmet. În tabelul (3.1) se prezintă valorile reale ale frecvențelor, precum și erorile relativ procentuale de estimare a frecvențelor pentru trei algoritme. Erorile relativ de estimare sunt calculate ca raport între abaterile standard și frecvențele reale corespunzătoare. Abaterile standard sunt obținute prin repetarea experimentelor pentru 20 secvențe de zgmet diferențite, dar pentru același raport standard-zgmet.

Din tabelul (3.1) rezultă, în mod evident, că erorile de estimare sunt cu mult mai mari cu cît frecvența estimată este mai mică. Supradetecția în sistemul de ecuații linie-

re pentru estimarea coeficienților de autoregresie este mai mică în experimentul 2.3 decât în experimentul 2.2. Rezultă

Frecvențe reale	Hz	2	6	20	25	30
Erori.Bibliografie /1c/ %	10	1,0	0,6	0,36	0	
Erori.Experimentul 2.2 %		0,67	0,103	0,057	0,046	0,012
Erori.Experimentul 2.3 %		2,52	0,47	0,20	0,047	0,082

Tabelul 3.1

erori mai mari la estimare a coeficienților de autoregresie în cazul experimentului 2.3. În același experiment frecvența de 30 Hz spune plesată foarte aproape de extremitatea dreaptă a curbei din fig.3.1. Rezultă erori mari la determinarea acestei frecvențe în funcție de coeficienții de autoregresie. Astfel se explică creșterea erorii la frecvența de 30 Hz față de cea de 25 Hz, în experimentul 2.3. Se remarcă erorile mult mai mari corespunzătoare frecvenței de 2 Hz plesată aproape de extremitatea stângă a curbei din fig.3.1, simetric față de frecvența de 30 Hz.

Având în vedere că erori mari de estimare apar pentru frecvențele mult mai mici decât frecvențe de eșantionare, relația (3.16), ne impune mărirea pasului de eșantionare astfel încât (fig.3.1).

$$f_{k\min} > \frac{1}{12} = \frac{\epsilon}{12},$$

unde $f_{k\min}$ este frecvența minimă conținută de procesul considerat. Rezultă

$$T > \frac{1}{12 f_{k\min}}. \quad (3.17)$$

Mărirea pasului de eșantionare este limitată de teorema eșantionării

$$T \leq \frac{1}{2 f_{k \max}}, \quad (3.13)$$

unde $f_{k \max}$ este frecvența maximă conținută de proces. În condiția (3.18) se evită oscilările și apropierea exagerată a pasului de eșantionare de către limita impusă de teorema eșantionării. În caz contrar, apar erori mari la calculul frecvenței $f_{k \max}$ în funcție de coeficienții de autoregresie (fig.3.1). Dacă inecuațiile (3.17) și (3.13) nu au soluție, se utilizează numai condiția (3.18) cu precizările indicate mai sus.

Mărirea efectivă a pasului de eșantionare, pentru un număr de eșantioane dat, rezultă de fapt mărirea intervalului de timp pe care este cunoscut procesul, ceea ce evident conduce la îmbunătățirea stimărilor pentru frecvențe.

3.2. Reducerea erorilor de estimare a frecvențelor sinusoidelor prin mărirea simulației pasului de eșantionare și reducerea supradeterminării sistemului în care se estimează coeficienții de autoregresie

Se pune problema astăzi, pentru o secvență de date $\{y_n\}$, $n = 1, 2, \dots, N$, obținută în eșantionare cu pasul T, să se limiteze mărirea pasului de eșantionare T prin algoritmul de estimare a coeficienților de autoregresie. În cele ce urmărez se prezintă algoritmul lui Kalman de estimare a frecvențelor sinusoidelor și care oferă o mărire pasului de eșantionare.

Pentru acesta se definește, prin lucrarea de față, noile tricile de date

$$A_{dK} = \begin{bmatrix} y_{1,1+1} & y_{K(L-1)+1} & \cdots & y_1 \\ y_{1,1+2} & y_{K(L-1)+2} & \cdots & y_2 \\ \vdots & \vdots & & \vdots \\ \vdots & \vdots & & \vdots \\ \vdots & \vdots & & \vdots \\ y_{N-K} & \cdots & \cdots & y_{N-KL} \end{bmatrix}, \quad (3.19)$$

$$A_{IK} = \begin{bmatrix} y_1 & y_{K+1} & \cdots & y_{KL+1} \\ y_1 & y_{K+2} & \cdots & y_{KL+2} \\ \vdots & \vdots & & \vdots \\ \vdots & \vdots & & \vdots \\ \vdots & \vdots & & \vdots \\ y_{N-K} & y_{N-K(L-1)} & \cdots & y_N \end{bmatrix}, \quad (3.20)$$

$$A_{dik} = \begin{bmatrix} 1 \\ 0 \\ \vdots \\ 0 \end{bmatrix}, \quad (3.21)$$

$$A_{eK} = \begin{bmatrix} y_{KL+1+y_1} & y_{(L-1)+1+y_{K+1}} & \cdots & y_{K(L/2+1)} \\ y_{KL+2+y_2} & y_{(L-1)+2+y_{K+2}} & \cdots & y_{K(L/2+1)+1} \\ \vdots & \vdots & & \vdots \\ \vdots & \vdots & & \vdots \\ \vdots & \vdots & & \vdots \\ y_N + y_{N-KL} & y_{N-K(L-1)} & \cdots & y_{N-K(L/2-1)-1} \end{bmatrix}, \quad (3.22)$$

unde K este un număr întreg. Dimensiunile matricilor de date sunt $A_{dK}(N-KL) \times (n+1)$, $A_{IK}(N-n) \times (n+1)$, $A_{dik}(2 \dots 4L) \times (L+1)$ și $A_{eK}(N-KL) \times (n+1)$.

Matricile definite mai sus sunt construite cu același egantioane și pe aceleși principii ca matricile A_d , A_i , A_{di} , și A_g definite în paragraful 2.1, cu diferență că în liniile matricilor A_{dK} , A_{iK} , A_{diK} și A_{gK} egantioanele nu sunt luate unul după celălalt ci din \hat{y}_n în K. Relațiile (3.19), (3.20), (3.21) și (3.22) reprezintă un mod general de definire a matricilor de date. În particular, pentru $K=1$, se obțin matricile de date definite în paragraful 2.1. Pentru estimarea numărului de sinusoidi și coeficienților de autoregresie se operează cu matricile A_{dK} , A_{iK} , A_{diK} și A_{gK} la fel ca și cu matricile A_d , A_i , A_{di} și A_g . Determinarea frecvențelor sinusidelor în funcție de rădăcinele polinomului caracteristic se face cu relația

$$f_k = \frac{1}{2\pi KT} \arg(\phi_k), \quad k = 1, 2, \dots, n. \quad (3.23)$$

Faptul că în liniile matricilor de date egantioanele sunt luate din \hat{y}_n în K este deosebit, din punct de vedere al calității frecvențelor, cu care pasul de eșantionare de K săli. Se definește pasul simbol de eșantionare

$$T_{SK} = Kt, \quad (3.24)$$

unde T reprezintă pasul de eșantionare prelevat secvența de date $\{y_n\}$. Factorul de multiplu K se alege astfel încât să se respecte teorema egantioanei

$$K < \frac{1}{2T f_{kmax}}, \quad (3.25)$$

unde f_{kmax} este frecvența maximă conținută în procesul considerat.

Mărirea simulației pasului de eșantionare, în condiția unei secvențe de date de lungime constantă N prelevată pe un interval de timp constant Δt , conduce la reducerea supradeterminării sistemelor de ecuații construite cu matricile de date. Supradeterminarea este proporcională cu numărul de ecuații ale sistemului, deci cu numărul de liniile ale matricei de date.

Numărul de liniile ale matricilor de date A_{dK} , A_{ik} , A_{ik} este $(N-KL)$, iar numărul de liniile ale matricei A_{dik} este $(2(N-KL))$. Rezultă o reducere a supradeterminării sistemelor cu atât mai mare cu cât L este mai mare. Reducerea supradeterminării sistemelor conduce, în principiu, la obținerea unor estimări mai puțin bune pentru coeficienții de autoregresie. Pe de altă parte, reducerea numărului de liniile ale matricilor de date conduce la reducerea volumului și deci a timpului de calcul necesar rezolvării sistemului de ecuații supradeterminat.

Din cele precedente rezultă că, fiind dată o secvență de date de lungime constantă N prelevată prin eșantionare unui proces format din sinusoide în zgomot aditiv pe un interval de timp constant Δt , utilizarea matricilor de date cu $K > 1$ are mai multe consecințe. Astfel se obține mărirea simulață a pasului de eșantionare, ceea ce conduce la estimări mai bune pentru frecvențe. Reducerea supradeterminării este o altă consecință și are un efect contrar cu cel obținut prin mărirea simulață a pasului de eșantionare. Ultima consecință constă în reducerea timpului de calcul afectat estimării frecvențelor sinusoidelor.

In cele ce urmăzoază se va analiza corelarea dintre consecințele expuse mai sus pentru cazul matricei de date sumă. Utilizarea matricei A_{dK} pentru estimarea frecvențelor sinusoidelor se justifică prin aceea că numărul de coeficienți de autoregresie estimati este redus la jumătate față de cazul utilizării matricilor A_{dk} , A_{ik} sau A_{dik} .

Se definește factorul de mărire relativă a pasului de eșantionare

$$\eta_K = \frac{T_d}{T_{01}} . \quad (3.26)$$

Având în vedere relația (3.24) se obține

$$\eta_K = K . \quad (3.27)$$

Se definește factorul de supradeterminare raport între numărul total și numărul de coloane ale matricii

de date sumă

$$\varepsilon_K = \frac{N-KL}{L+1} \cdot \frac{2}{2} \quad (3.21)$$

Pentru a analiza cu scințele utilizării matricilor A_{gk} , cu $K > 1$ se interpretează rezultatele experimentelor 1 și (capitolul 4). În experimentul 1 se consideră un proces format din o sinusoidă în zgomot aditiv. Estimarea frecvenței sinusoidă în experimentul 1.1. se face cu matricea $A_g = A_{g1}$, de dimensiune 7×2 , rezultând un sistem de ecuații cu factorul de supradeterminare 3,5. Utilizarea matricii de date A_{g2} ($K=1$), de dimensiune 5×2 și cu factorul de supradeterminare 2,5, în experimentul 1.3, conduce la reducerea abaterii standard a estimărilor pentru frecvență și spreapejă mătăse din cea obținută în experimentul 1.2. Aburile stâncoase sint obținute prin repetarea experimentului 1.1. într-o zonă de zgomot diferită, dar pentru același interval-zgomot. Rezultă că reducerea supradeterminării de la 3,5 la 2,5 are un efect mult mai mic decât dublarea sijurului de eșantionare. În experimentul 1.4 se utilizează matricea de date A_{g3} ($K=3$) de dimensiune 3×2 , rezultând un sistem cu factor de supradeterminare 1,5. Se obține apreciativ aceeași abaterie standard a estimărilor pentru frecvență ca și în experimentul 1.3. Rezultă că, din punctul de vedere al estimărilor pentru frecvență, efectul măririi sijurului de eșantionare de la 2 la 3: este compenșat cu eficiență de reducerea supradeterminării de la 2,5 la 1,5. Totuși, prin experimentul 1.4, n-a obținut o reducere a dimensiunii sistemului de ecuații, deci implicit căsiulor necesare pentru rezolvarea sistemului de ecuații. În aprecierile prezentate nu au implicat valorile sistemului de ecuații ale estimărilor pentru frecvență decât variațiile acestora care sunt mult mai mici decât valoarea abaterilor standard.

In experimentul 2 (capitolul 4) se consideră un proces format din cinci sinusoidă în zgomot. Utilizarea matriciei de date $A_g = A_{g1}$ în experimentul 1.1, de dimensiune 11×6 , conduce la obținerea unor estimări și cronate grosolan. Valorile singulare ale matriciei A_g sunt rangul trei pentru matricea A_g .

rezultă că este ceea ce se întâmplă doar prezența celor trei sinusoide cu frecvențe mari. Aceasta se explică prin aceea că la durata corespunzătoare unei linii a matricei A_{S4} nivelul rezervențelor mici se schimbă putin. Altfel spus, raportul frecvențelor mici în eșantie, alături de corespondența unei linii a matricei A_{S4} este aproksimativ constant. În experimentul 2.2 se utilizează matricea cu date A_{S4} ($K=4$), de dimensiune 31×6 , rezultând un sistem cu factor de supradeterminare 5,15. Valoriile singulare ale matricei A_{S4} indică clar prezența celor cinci sinusoide. Iată cum se poate aprecia estimările obținute pentru frecvențe și face comparație cu rezultatele obținute în /lo/ pentru același proces și același date. În /lo/ estimările frecvențelor se fac prin r-un algoritm ce corespunde utilizării matricelor date A_{di} , de dimensiune 70×36 . Se constată presei caracteristică că în tabelul 3.1 se obțin relative sint că frecvențele reale obținute prin r-ungorod diferit, rezultatele prezintă diferențe cu parțialitatea cu care se simulează în experimentul 2.2, conduce la o reducere a erorii și rezultă cu cît mai multă precizie. În experimentul 2.3 se utilizează datele din tabelul 7.1 utilizate în dimensiune 13 și se obține rezultatul de către programele de predeterminare, în acest caz se obține rezultatul în /lo/. În tabelul 3.1 rezultă că multiplicarea matricei cu factorul de cordanțare, în experimentul 2.2, nu împinge substanțială a estimărilor de către r-ungorod. În /lo/ se obțin estimările publicate în /lo/. Rezultatul de estimare este cu atât mai pronunțat că sinusoida este mai mică. În experimentul 2.2. rezultă o matrice A_{S4} de dimensiune 31×6 și se obține rezultatul în /lo/ și în tabelul (3.1) se observă că și în acest caz se obțin estimări mai bune decât cele publicate în /lo/.

In cele
cerii numărului

se va se evidențiază posibilitatea reducerea erorilor și menținerea constanțării sau re-

lucerea erorilor de estimare, prin mărirea dimensiunii a pasului de eșantionare și reducerea supradeterminării. În acest caz apare și o mărire efectivă a pasului de eșantionare deoarece se preleveză mai multe eșantioane pe un interval de timp dat. Pe de altă parte, reducerea numărului de eșantioane neigorează valoarea maximă factorului de multiplicare K ce poate fi utilizat, astfel încât sistemul de ecuații liniare să fie supradeterminat.

Astfel, în experimentul 1.5 se prelevede pe intervalul de timp $\Delta t=0,4$ s cu număr $n=7$ eșantioane, față de nouă eșantioane prelevate în experimentul 1.2. Valoarea maximă a factorului de multiplicare utilizabil este $K=2$, pentru că rezultă matricea A_{82} , de dimensiune 3×2 . Factorul de supradeterminare este $\xi = 1,5$. Astfel se obține, în experimentul 1.5, o reducere a abaterii standard a estimărilor pentru răvenire cu peste 40% mai mică decât cea obținută în experimentul 1.2, unde se utilizează matricea $A_8 = A_{81}$. Această rezultată susține posibilitatea și utilitatea numărului de eșantioane prelevate pe un interval de timp dat și mențineea constantă, sau reducerea erorilor totale, prin mărirea similitudinii pasului de eșantionare și reducerea supradeterminării.

Pe baza considerațiilor teoretice și a rezultatelor experimentale prezente în lucrările cu mărirea dimensiunii a pasului de eșantionare conduse în îmbunătățirea estimărilor pentru frecvențe în domeniul curenții supradeterminării sistemului de ecuații liniare căreia se estimează coeficienții de autoregresie. La fel ca și la supradeterminare aici, apreciați de unu, efectul încreșterii supradeterminării poate compensa efectul măririi și a pasului de eșantionare. În acest caz rămîne evantăjătoare reducerea volumului și deci a timpului de calcul al curenții estimărilor sinusoidelor.

În plus, mărirea inițială a pasului de eșantionare permite reducerea numărului de eșantioane prelevate pe un interval de timp dat și menținerea constantă sau reducerea erorilor de estimare a frecvențelor sinusoidelor, în ceea ce reduce supradeterminării și în ceea ce căciu liniare cu care se estimatează coeficienții autoregresiei.

Mărirea și alături de pasului de eșantionare conduce la mărirea intervalului de timp pe care sănt prelevate eșantioanele unei linii a matricei de date ca și în cazul introducerii rădăcinilor suplimentare. Rezultă că, prin utilizarea matricilor de date cu $K > 1$, se elimină necesitatea introducerii rădăcinilor suplimentare. Se obține o simplificare a algoritmului deoarece nu mai este necesară operația de identificare a frecvențelor adevărate și în plus se elimină posibilitatea apariției efectului de despărțire a liniilor spectrale (experimentul 2.4).

3.3. Reducerea erorilor de estimare a frecvențelor sinusoidelor prin mărirea simulată a pasului de eșantionare și mărirea numărului de eșan- tioane

Se consideră procesul format din liniștoare sinusoidală în zgomot aditiv și disponibil pentru eșantionare pe intervalul de timp Δt . Din calea prezentată anterior se rezultă că, pentru un număr de eșantioane n impus, utilizarea matricilor de date A_{SK} , $K > 1$, conduce la reducerea factorului de supradeterminare al sistemului în care se estimează coeficienții de autoregresie. În cele ce urmează se impune ca la utilizarea matricelor date A_{SK} , $K > 1$, factorul de supradeterminare al sistemului să fie scăzut ca și în cazul utilizării matricii A_{S1} . Aceasta se poate realiza numai prin mărirea numărului de eșantioane prelevate pe intervalul de timp Δt . Numărul unui factor de supradeterminare constant garantează, din punct de vedere statistic, erori constante de eșantionare. În rezolvarea sistemului de ecuații liniare supradeterminat, mărirea numărului de eșantioane presupune, pentru Δt constant, micșorarea pasului efectiv de eșantionare. Totuși, prin utilizarea matricilor de date A_{SK} , $K > 1$, se obține o serie simulată a pasului de eșantionare fără de cazul utilizării matricei de date A_{S1} . Rezultă estimări mai bune a tuturor frecvențelor sinusoidelor.

Se afiră /17/ că un pas de eșantionare mic nu este util deoarece este un pas compus din eșantioane consecutive

tinde să devină egal cu vectorul constant $(1, 1, \dots, 1)^T$. Este cazul liniilor matricei de date A_{g1} construite prin combinația unor eşantioane consecutive. Deoarece la formarea liniilor matricilor A_{gK} , $K > 1$, eşantioanele sunt luate din K fișe, acest dezavantaj este eliminat. În prezenta lucrare se afișă și se demonstrează că prelevarea pe durata Δt a unui număr cît mai mare de eşantioane, deci utilizarea unui pas de eşantionare cît mai mic, conduce la obținerea unor estimări mai bune pentru frecvențe, prin mărire simulată a pasului de eşantionare. Această rezultare devine posibilă numai prin utilizarea matricilor de date A_{gk} , $k > 1$. Se precizează că aceasta se realizează fără a mări valoarea de calcul necesar astimării frecvențelor sinusoidale.

In cele ce urmează se demonstrează posibilitatea măririi simulației a pasului de eşantionare prin mărirea numărului de eşantioane prelevate și condiția menținerii supradeterminării constante a sistemului de ecuații.

Dacă se notează cu N_K pasul de eşantionare și respectiv numărul de date n_k care sunt prelevate pe intervalul Δt , în cazul utilizării LTI, unde datele A_{gk} , $k=1, 2, \dots$, se obțin:

$$\frac{\Delta t}{T_K} = N_K^{-1} \cdot \quad (3.29)$$

Pasul simulației este ceea ce urmare este dat de relația

$$T_{gk} = K T_K \cdot \quad (3.30)$$

Factorul de supra determinare este

$$\varepsilon = \frac{N_K - K}{\frac{L}{2} + 1} \cdot \quad (3.31)$$

Prin notăție fără încercare a factorului de supradeterminare se precizează că ε este funcție de K . Din rezultat

ția (3.31) se obține numărul de egantioane necesar construirii matricei A_{SA} , $n=1,2,\dots$ în funcție de factorul de supradeterminare impus:

$$n_K = KL + \varepsilon(\frac{k}{L} + 1) . \quad (3.32)$$

Se obține și măsura relativă a numărului de egantioane

$$\frac{n_K}{n_1} = \frac{KL + \varepsilon(\frac{k}{L} + 1)}{L + \varepsilon(\frac{k}{L} + 1)} . \quad (3.33)$$

Holatia (3.33) arată de câte ori trebuie marit numărul de egantioane aduse pe intervalul de timp Δt , la utilizarea matricelor A_{SA} , $n=1,2,\dots$, fără de cazul utilizării matricei $A_{\text{SL}}=A_1$, fără încit supradeterminarea sistemelor de ecuații rezultante să fie acordată.

Rezultă următoarea frecvență de egantionare:

$$\frac{f_{ek}}{f_{e1}} = \frac{T_k}{T_1} = \frac{-1}{-1} . \quad (3.34)$$

Având în vedere relația (3.32) se obține măsura relativă a frecvenței de egantionare

$$\frac{r_{ek}}{r_{e1}} = \frac{KL + \varepsilon(\frac{k}{L} + 1) - 1}{L + \varepsilon(\frac{k}{L} + 1) - 1} . \quad (3.35)$$

Factorul măsura relativă a pasului de egantionare este

$$\eta_K = \frac{T_k}{T_1} . \quad (3.36)$$

Pentru $k=1$ din (3.36) și (3.35) se obține

$$\eta_K = K \frac{T_K}{T_1} = K \frac{f_{e1}}{f_e} . \quad (3.37)$$

Rezultă

$$\eta_K = K \frac{L + \frac{(L+1)}{2}}{KL + \frac{(L+1)}{2}} \sim 1 . \quad (3.38)$$

Deoarece $\varepsilon > 1$ și $L \geq 2$,

$$\eta_K > 1 , \quad (3.39)$$

Pentru $K = 2, 3, \dots$ relația (3.39) indică posibilitatea să se simuleze pe pasului de către unul prin mărirea numărului de echantioane prelevate pe intervalul de timp constant Δt , îndată că condiția obținerii unei rezoluții determinării consistente a sistemului de ecuații. Relația (3.39) arată de cite ori se mărește pasul simulat de eșantie. În cazul utilizării matricei A_{gk} , $K = 1, 2, \dots$ făță de cazul utilizării matricei $A_{g1} = A_g$. Această mărire este limitată de locura

$$\eta_\infty = \frac{L + \varepsilon(\frac{L}{2} + 1)}{L} \sim 2 . \quad (3.40)$$

Pentru cazul în care se introduce ridicării suplimentare, adică

$$L = 2^m,$$

relațiile (3.33), (3.35) și (3.37) devin

$$\frac{N_K}{N_1} = \frac{2KL + \varepsilon(L+1)}{2L + \varepsilon(L+1)} , \quad (3.41)$$

$$\frac{f_{eK}}{f_{el}} = \frac{\varepsilon_1 + \varepsilon(L+1) - 1}{2 + \varepsilon(L+1) - 1}, \quad (3.42)$$

$$\eta_K = K \frac{\varepsilon_1 + \varepsilon(L+1) - 1}{2 + \varepsilon(L+1) - 1}. \quad (3.43)$$

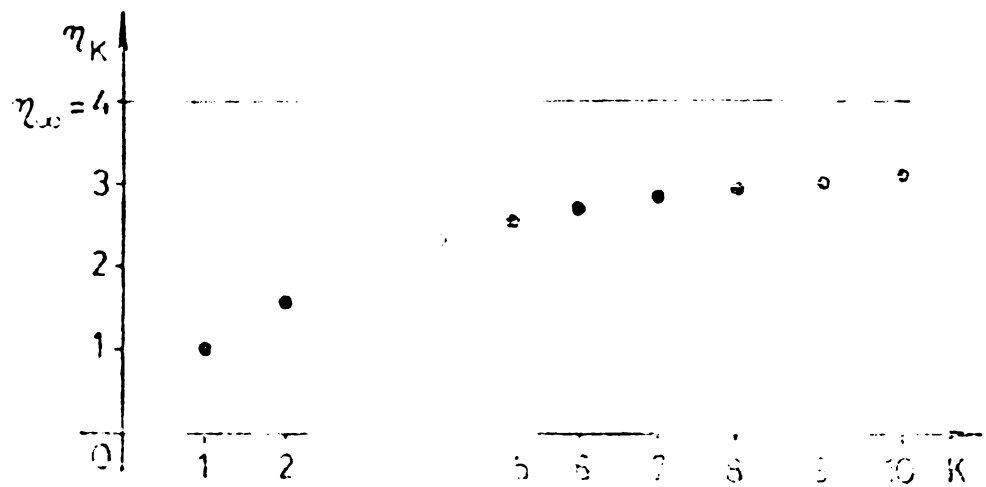
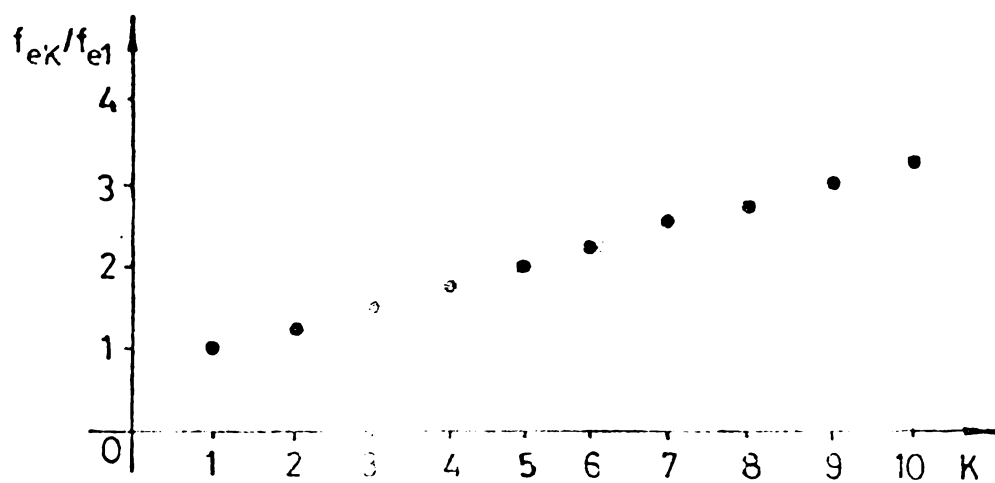
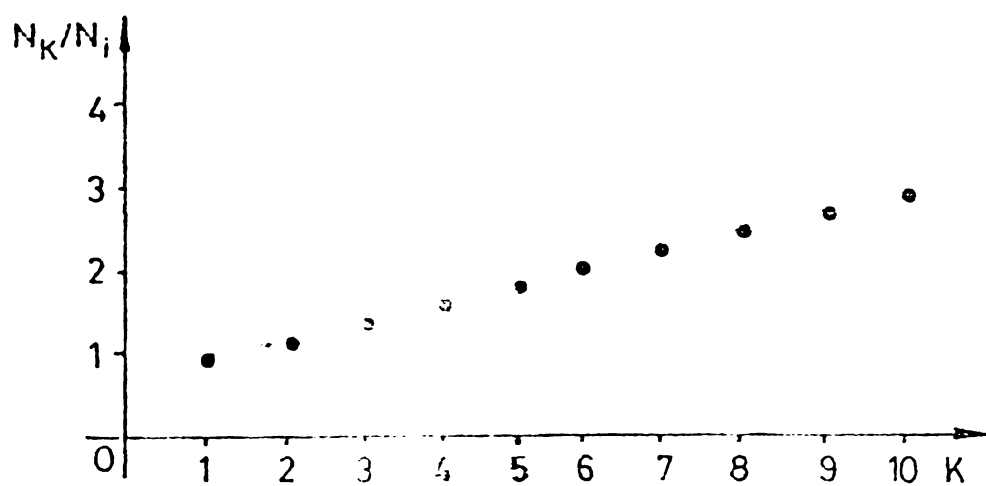
Pe baza acestor relații deduse mai sus se analizează procesul prezentat în experimentul 1 (Capitolul 4). Scopul analizei constă în a stabili criterii de alegere a factorului de multiplicare K . Factorul menționat constă din o sinusoidă cu frecvență de 1 radian pe secundă aditiv și este disponibil pentru eșantionare pe un interval de timp $\Delta t = 0,4$ s. În experimentul 1, numărul de eșantioane este $N_1 = 9$ și având în vedere că $L = 2k = 2$, se obține o matrice A_0 de dimensiune 7×2 . Rezultă factorul de mărire determinat $\varepsilon = 3,5$. În aceste condiții relațiile (3.41), (3.42) și (3.43) devin

$$\frac{N_K}{N_1} = \frac{2K + 1}{5}, \quad (3.44)$$

$$\frac{f_{eK}}{f_{el}} = \frac{K + 3}{5}, \quad (3.45)$$

$$\eta_K = \frac{4K}{K + 1}. \quad (3.46)$$

Reprezentarea grafică a relațiilor de mai sus, pentru $K = 1, 2, \dots, 10$, este prezentată în figura 3.2. Se constată că în timp ce numărul de eșantioane și frecvența de eșantionare cresc cu o pantă constantă în funcție de K , factorul de mărire relativ și scădere de eșantionare crește cu o pantă ce scade odată cu creșterea lui K . Rezultă că la mărirea exagerată a factorului de multiplicare, cîștiul în mărire relativă a pasului de eșantionare este mic, în timp ce frecvența de eșantionare și numărul de eșantioane cresc mult.



2.3.2

Imbunătățirea este realizată pentru frecvențe, prin mărirea numărului de oscenții. Ele sunt realizate pe intervalul de timp Δt utilizarea matricilor A_{BK} , $K \geq 1$, este susținută prin

compararea rezultatelor experimentului 1.2 ($K=1$; $N_1=9$; $T_1 = 0,05s$; $\varepsilon = 3,5$) cu rezultatele experimentului 1.3. ($K=7$; $N_7=21$; $T_7 = 0,05s$; $\varepsilon=3,5$; $\gamma_7=2,3$). Astfel prin experimentul 1.6 se demonstrează micșorarea abaterii standard a estimărilor pentru frecvență de 2,3 ori față de abaterea standardă corespunzătoare experimentului 1.2. Abaterile standard sunt obținute prin repetarea fiecărui experiment pentru 200 secvențe de zgomot diferențiate, dar pentru același raport număr-zgomot. Reducerea abaterii standard de 2,3 ori, în condițiile măririi numărului de echantioane de la 9 la 21 și a măririi frecvenței echantionare de 4,5 ori, este posibilă prin mărirea similitudinii pasului de echantionare de 2,5 ori cu matricea de A_{SK} . Volumul și timpul de calcul necesar estimării unei ariei sinusoidale este același în ambele experimente.

Din consideranțele teoretice și rezultatelor experimentale prezente rezultă că, în condiția obținerii unui sistem de ecuații cu același factor de supradeterminare, este posibilă mărirea similitudinii pasului de echantionare și în mărimirea numărului echantioane prelevate pe intervalul de timp Δt constant. Rezultă o îmbunătățire a estimărilor pentru frecvență, și pt ce devine posibil numai prin utilizarea matricilor date de A_{SK} , $K > 1$. Deoarece factorul de supradeterminare este constant rezultă un același volum de calcule și deci de timp de calcul necesar pentru estimarea frecvențelor sinusoide.

3.4. Recalcularea intervalului de timp pe care să se prelevă echantioanele și menținerea constanță a eroarelor de estimare a frecvențelor sinusoidale prin mărirea similitudinii pasului de echantionare și mărirea numărului de echantioane

Se consideră procesul format dintr-o sinusoidă în zgomot aditiv. Se poate să se utilizeze matricile de date A_{OK} , $K > 1$, făcândă supradeterminarea sistemelor rezul-

tante să fie aceeași ca și în cazul utilizării matricei A_{SK} . Având în vedere că eşantioanele sunt prelevate pe un interval de timp mai scurt și că autodeterminarea este constantă rezultă creșterea erorilor de estimare a coeficientilor de autoregresie. În cazul în care frecvențele sinusoidelor conținute în proces sunt mult mai mici decât frecvența de eșantionare este posibilă compensarea creșterii erorilor de estimare a coeficientilor de autoregresie prin reducerea erorilor la determinarea frecvențelor în funcție de acești coeficienti. În acest scop se procedează la mărirea simulației pasului de eșantionare, astfel încât

$$T_{SK} > T_1 = T, \quad (3.47)$$

unde T_{SK} reprezintă pasul simulației de eșantionare. Rezultă că factorul de mărire relativ a pasului de eșantionare trebuie să fie suprunitar.

$$\gamma_K = \frac{T_{SK}}{T_1} > 1.$$

In cel ce urmează demonstrează că utilizarea matricilor de date A_{SK} , $K > 1$, în condițiile precizate mai sus, conduce la reducerea întrebuințării de timp pe care se prelevedeză eșantioanele, dacă se numără numărul de eșantioane și implicit frecvența de eșantionare.

Dacă se notează Δ intervalul de timp pe care se prelevedeză eșantioanele în cadrul utilizării matricilor A_{SK} , $K = 1, 2, \dots$ se obține

$$\frac{\Delta t_K}{T_K} = N_K - 1. \quad (3.48)$$

Pasul simulației de eșantionare este

$$T_{SK} = K T_K. \quad (3.49)$$

rezultă mărimea relativă a frecvenței de egantionare

$$\frac{f_{eK}}{f_{el}} = \frac{T_1}{T_K} = \frac{T_1}{T_{0K}} \quad (3.50)$$

Din relația de definire a factorului de suprasemestrimare pentru cantitățile de date sumă :

$$\varepsilon = \frac{\frac{N_K - L}{L}}{\frac{L}{2} + 1}, \quad (3.51)$$

se obține

$$N_K = KL + \varepsilon(\frac{L}{2} + 1), \quad (3.52)$$

unde $K = 1, 2, \dots$ – mărimea relativă a numărului de egantioane

$$\frac{N_K}{N_1} = \frac{KL + \varepsilon(\frac{L}{2} + 1)}{L + \varepsilon(\frac{L}{2} + 1)}. \quad (3.53)$$

Se definesc reducerile relativă a intervalului de timp pe care se întâlnesc evenenii egantioanele prin raportul $\Delta t_K / \Delta t_1$. Din (3.53) se obține

$$\frac{\Delta t_K}{\Delta t_1} = \frac{T_1(T_K - 1)}{T_1(T_1 - 1)}. \quad (3.54)$$

Inlocuind relațiile (3.50) și (3.52) în (3.54), rezultă

$$\frac{\Delta t_K}{\Delta t_1} = \frac{1}{K} \cdot \frac{\varepsilon(\frac{L}{2} + 1) - 1}{\varepsilon(\frac{L}{2} + 1) - 1} \cdot \frac{T_{0K}}{T_1}. \quad (3.55)$$

Având în vedere rel. (3.47), se obține

$$\frac{\Delta t_K}{\Delta t_1} > \frac{1}{K} \cdot \frac{KL + \varepsilon(\frac{L}{K} + 1) - 1}{L + \varepsilon(\frac{L}{K} + 1) - 1} \dots \quad (3.56)$$

Deoarece $\varepsilon > 1$ și $L > 1$, termenul din dreapta al relației (3.56) este subunitar, c.e. $k = 2, 3, \dots$. Rezultă deci posibilitatea ca raportul $\Delta t_K / \Delta t_1$ să fie subunitar ceea ce corespunde reducerii între lungimea de timp pe care se prelivesc și numărul de eșantioane.

Pentru cazul în care se introduce reacțiile suplimentare, adică

$$L = 2k,$$

relațiile (3.53) și (3.54) devin

$$\frac{N_K}{N_1} = \frac{2KL + \varepsilon(k+1)}{2L + \varepsilon(k+1)}, \quad (3.57)$$

$$\frac{\Delta t_K}{\Delta t_1} = \frac{1}{K} \cdot \frac{2KL + \varepsilon(k+1)-1}{2L + \varepsilon(k+1)-1} \cdot \frac{T_{EK}}{T_1}. \quad (3.58)$$

Pe baza relațiilor prezentat în experimentele cu \dot{x} din o sinusoidă și te disponibil pentru

$\Delta t_1 = 0,4s$. În experimentul $N_1 = 9$ și, având în vedere că intervalul de dimensiune 7×2 , I.e. $L=2$, $\varepsilon=3,5$. În cele ce urmă-

tăi său se analizează procesul (capitolul 4). Procesul menționat arevențe de 1 Hz în zgomot editiv nitionare pe un interval de timp l.e. numărul de eșantioane este $N=2L=2$, se obține o matrice A_S cu factor de supradeterminare împunie o cunoaște reducere a intervalului de timp pe care se prelivesc eșantioanele și se trăi simulată o posibilă de eșantionare compensează reducerea intervalu-

lui de timp din numărul de venire al erorilor de estimare
în frecvențelor. Dacă se impune o reducere cu 25% a inter-
valului de timp, atunci se prelevesc egantioanele, adică

$$\frac{\Delta t_K}{\Delta t_1} = 0,75$$

întrucât precizatează astfel, relațiile (3.57) și (3.58) devin:

$$\frac{n_K}{n_1} = \frac{2K+1}{2k+1}, \quad (3.59)$$

$$\eta_K = \frac{T_{01}}{T_{01}} = \frac{2k+1}{2K+1}. \quad (3.60)$$

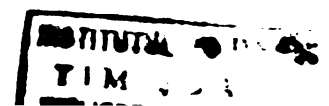
Din relația (3.59) și (3.60) rezultă

$$\frac{f_{ek}}{f_{el}} = \frac{K+1}{k+1}. \quad (3.61)$$

Reprezentarea grafică a relațiilor (3.59), (3.60) și (3.61), pentru $k=1, 2, \dots$ este prezentată în figura 3.3.

Se constată că numărul de egantioane și frecvența de egantionare crește cu pantă constantă în funcție de K , în timp ce pantă creșterii este a factorului de mărire relativă a pasului de egantionare care scade odată cu creșterea lui K . Rezultă că la unitatea factorului de mărire relativă a factorului de multiplicare, cîștigul în număr de pasuri de egantionare este mic, în timp ce venita de egantionare și numărul de egantioane cresc mult.

Potrivit unei reduceri intervalului de timp care se prelevesc și numărul de egantioane și menținerea constantă a erorilor de estimare este susținută experimentul. Astfel în experimentul 1.7 (cu $n_1=19$; $T_0=0,017s$; $\varepsilon=3,5$; $\Delta t_1=0,3s$), erorile de estimare și frecvenței sunt cu puțin mai mici decît



cele obținute în experimentul 1.2 ($K=1$; $N_1=9$; $T_1=0,05$; $\varepsilon=3,5$; $\Delta t_1=0,4s$). Se evidențiază faptul că în experimentul 1.7 în-

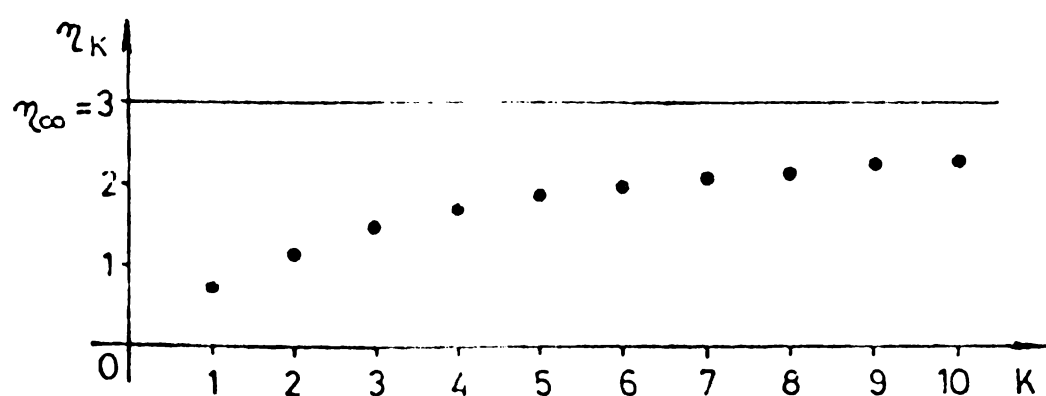
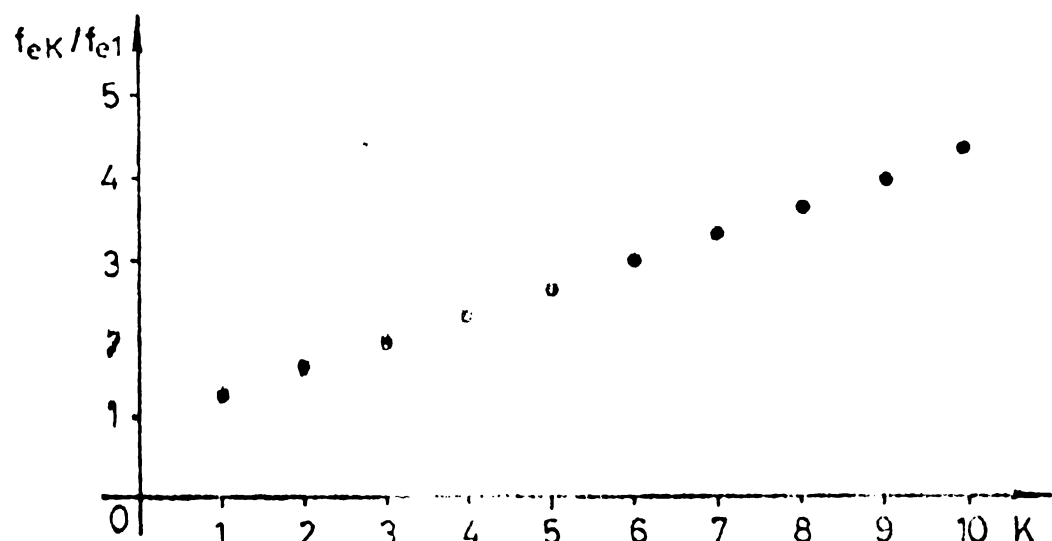
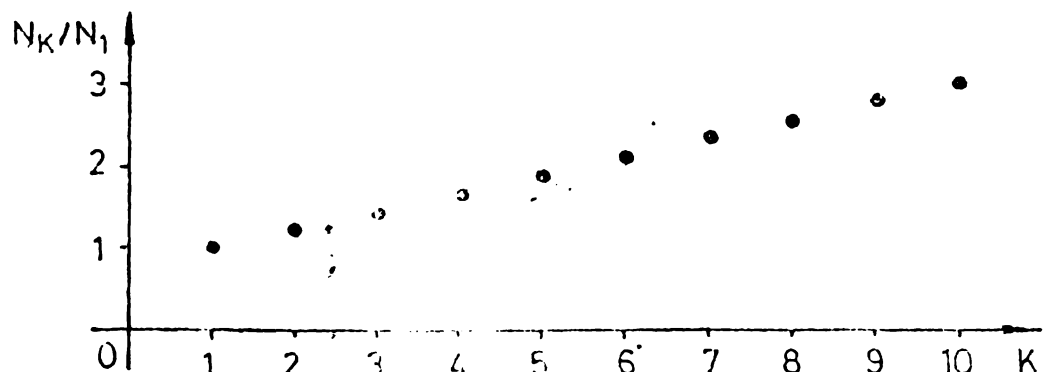


Fig. 3.3

intervalul de timp pe care accesul trebuie să fie disponibil pentru eșantionare este cu 25% mai lung decât cel necesar în experimentul 1.2. Această lipsă condițiile surorii numărului de

egantioane de la 9 la 19 și a măririi frecvenței de egantionare de trei ori. Obținerea unor erori comparabile în cele două experiențe poate fi posibilă numai prin măslina simulată a pasului de egantionare care compensează reducerea intervalului de timp pe care se prelăvăză egantioanele. Volumul de calcul necesar estimării frecvenței sinusoidale este totuși în cadrul experimentelor și rezultă din condiția de supradeterminare constantă.

Din consideranțele teoretice și din rezultatele experimentale putem să rezultă că este posibilă reducerea intervalului de timp pe care se prelăvăză egantioanele cu menținerea constanță a erorilor de estimare. Erori de estimare constante pot fi obținute prin impunerea unei supradeterminări constante și prin compensarea efectului reducării intervalului de timp cu efectul măririi simulată a pasului de egantionare. Pentru aceasta este necesară mărirea numărului de egantioane a frecvenței de egantionare. Dacă acest factorul de supradeterminare este constant rezultatul menținerea constanță a volumului și deci a timpului de calcul necesar estimării de evențelor sinusoidale.

4. Metodele EXPERIMENTALE

Partea experimentală a lucrării are scopul de a se obține principalele contribuții teoretice ale lucrării și se bazează pe simularea unor procese aleatoare compuse din sinuside și din zgomot editiv. Această procedură de experimentare este utilizată frecvent în literatură de specialitate /9/, /10/, /22/, /24/, /39/, /57/.

Considerind un proces format din L sinusoide de amplitudini A_k , frecvențe f_k și faze φ_k , $k = 1, 2, \dots, L$, se calculează egentioanele x_n cu ajutorul relației

$$x_n = \sum_{k=1}^L A_k \sin(\pi f_k n + \varphi_k), \quad n = 1, 2, \dots, N \quad (4.1)$$

unde T reprezintă pasul de egentionare, iar N reprezintă lungimea secvenței de date. Într-o simulație zgomotul se generează o secvență, $\{w_n\}$, $n = 1, \dots, N$, de numere aleatoare Gaussiene de medie nulă și dintr-o funcție de raportul semnal-zgomot impus. Secvența de date este generată pe baza subrutinii **RGAUS**, din /53/, care, în loco de teorema limitei centrale de generare a unui eșantion din secvenței aleatoare Gaussiene din 12 numere aleatoare uniform distribuite.

Secvența de date corespunzătoare procesului format din sinusoide în zgomot editiv se obține prin relația

$$y_n = x_n + w_n, \quad n = 1, \dots, N. \quad (4.2)$$

Pentru interpretarea statistică a rezultatelor, fiecare secvență diferă de zgomot.

dar cu același aspect sinusoidal-zgomot. Se calculează, astfel, valori medii și deviații standard pentru mărimele estimate, frecvențe, amplitudini și faze.

Pentru descompunerea valorilor singulare a matricilor de date se utilizează subrutina KNSVL, din /58/. Subrutina se bazează pe un algoritm stabil și eficient /17/.

Algoritmul constă în reducerea matricei la forma bi-diagonala prin două secvențe de transformări Householder la stânga și la dreapta, urmând diagonalizarea ca o variantă a procedurii QR /17/.

Pentru căutarea rădăcinilor polinomului caracteristic se utilizează subrutina KPRADL, din /58/, bazată pe procesul iterativ i.e. bisection-Phson. Pentru determinarea amplitudinilor și fazelor sinusoidelor, în funcție de secvența de date și de estimările pentru frecvențe, se utilizează subrutele KLFIL și LURIL /58/ de rezolvare a sistemelor de ecuații liniare supradeterminate.

Programele sunt în FORTRAN.

Alegerea experimentelor corespunde contribuțiilor originale ale fizicii. Astfel, pentru estimarea numărului de sinusoide se utilizează matricea de date A_g sau A_{gk} . Numărul de sinusoide se estimează ca rang efectiv al acestei matrice, prin anularea valorilor singulare rezultate din DVS. Rezolvarea sistemelor de ecuații liniare supradeterminate pentru estimarea coeficienților de autoregresie se face prin utilizarea de compunerea valorilor singulare. Soluția unui sistem este dată de spațiul liniar generat de ultimele coloane ale matricei V rezultată din DVS. În cazul introducerii rădăcinilor suplimentare pentru polinomul caracteristic, se utilizează algoritmul de reducere pentru determinarea rădăcinilor adevărate. Se certifică experimental că erourile mari de estimare se obțin pentru frecvențele mult mai mici decât frecvența de eșantionare. Pentru mărire simulației numărului de eșantionare se utilizează matricile A_{gk} , A_{gk+1}, \dots . Se evită reducerea eroilor de estimare prin căutarea sinusoidelor prin mărirea sinusoidă a pasului eșantionare și reducerea supradetermina-

xii, pentru un număr de eșantioane dat. Mărireea simulației pasului de eșantionare corespunde la mărirea intervalului de timp pe care sunt prelevate eșantioanele unei linii a matricei de date, ca și în ceea ce introducează rădăcinilor suplimentare. Rezultă că prin utilizarea matricilor de date A_{S_k} , $k=2,3,\dots$, se elimină posibilitatea introducerii rădăcinilor suplimentare. În acest caz soluția sistemului de ecuații tehnice supradeterminat este cea ultimă coloană a matricei și rezultată din DVS a matricei de date. Se obține o simplificare a algoritmului deosebită, nu mai este necesară operația de identificare a frecvențelor adăvărate și în plus se elimină posibilitatea apariției efectului de despicate a liniilor spectrale. Se dovedește că următorul reduserei erorilor de estimare a frecvențelor sinusoidelor prin mărirea simulației pasului de eșantionare și reducerea supradeterminării. Se evidențiază reduserea eroilor de estimare a frecvențelor sinusoidelor prin mărirea simulației pasului de eșantioane și mărirea numărului de eșantioane prelevate pe un interval de timp dat. Această rezultă prin mărirea simulației pasului de eșantionare și reducerea supradeterminării. Se evidențiază reduserea eroilor de estimare a frecvențelor sinusoidelor prin mărirea simulației pasului de eșantioane și mărirea numărului de eșantioane prelevate pe un interval de timp dat. În acest caz supradeterminarea se menține constantă. Se dovedește experimental posibilitatea redusă a intervalului de timp pe care se preleveză eșantioanele în condiție de linierii constante a erorilor de estimare a amplitudinilor și fazelor. Aceasta se obține prin mărirea simulației pasului de eșantionare, mărirea numărului de eșantioane și menținerea unui supradeterminări constantă.

Experimentul 1

In cadrul primului experiment se stimulează un proces sonot aditiv. Sinusoidele sunt aditive, $A=1$ și faza, $\varphi=0^\circ$. Intervalul de timp pe care se consideră $\Delta t=0,4$ s, mai mic decât valoarea perioadei sinusoidei. Rezultatul semnal-zgomot, este obținut prin relație

$$\text{SNR} = 10 \cdot \log \frac{\left\{ \sum_{n=0}^{N-1} A \sin(2\pi f_n t + \varphi) \right\}^2}{N \sigma^2}, \quad (4.3)$$

este de 10 dB. În relația (4.3), N reprezintă numărul de eșantioane prelevere pe intervalul de timp Δt , iar σ^2 reprezintă dispersia evenimentei de zgomot.

Experimentul 1.1

Prin acest experiment se evidențiază utilizarea descompunerii valorilor singulare la estimarea coeficienților de autoregresie. Sistemul de ecuații liniare supradeterminat este rezultat din cel mai deosebit sistemul de ecuații liniare generat de alinile coloane ale matricei V rezultat din CVD a matricii de date. De asemenea, prin acest experiment, se evidențiază utilizarea algoritmului de rezolvare pentru determinarea coeficienților de corespondanță sinusoidale adevărate.

Pe intervalul de timp $\Delta t=0,1$ s-a prelevat un număr de eșantioane rezultă un pas de eșantionare $t=0,05$ s. Pentru estimarea coeficienților de autoregresie se utilizează matricea de său cu $L=4$, ceea ce implică prezența unor trei eșantioane. Dimensionarea matricei A_{d1} este de către eșantii liniare supradeterminat, prin rezolvarea ecuațiilor de autoregresie, se rezolvă sistemul rezultă din spațiul său. Trei coloane ale matricei V, obținute de la soluția sistemului rezultă din spațiul său. Matricei A_{d1} . Pentru determinarea coeficienților de corespondanță sinusoidale adevărate se reduc dimensiunile matricei A_{d1} și se rezolvă sistemul rezultat. În tabelul 4.1 se prezintă rezultatele experimentului, adic. valoarea medie și abaterile standard ale estimărilor calculate prin repetarea 100 secvențe diferite de zgomot.

		Veloare reală	Veloare medie	Abatere standard
f	1		1,0021	0,0635
A	1		1,0033	0,0342
φ	0°		-1,0310°	3,6903°

tabul 4.1

Experimentul 1...

Prin acest experiment se evidențiază utilizarea matricelor de date A_g pentru estimarea coeficientilor de autoregresie, cu consecința reducerii valoarelor abaterii standard care sunt de la jumătate la trei ori mai mari decât în experimentul 1.1.

Pe intervalul de timp $\Delta t=0,4s$ se prelivescă un număr de egantioane $N=9$. Recalculul pe pas de egantionare $\delta t=0,05s$. În cadrul acestui experiment se utilizează matricele de date A_g , cu $n=7$, ceea ce indică că nu se introduc sinusoide suplimentare. Dimensiunea matricei A_g este 7×7 , rezultând un factor de overdeterminare $\xi=3,5$. Sistemul de ecuații liniare supradeterminat se rezolvă prin utilizarea DVS. Coeficientii de autoregresie rezultă ca ultimă coloană a matricei V obținută din sistemul de ecuații liniare este matricea A_g . În tabelul 4.2 se prezintă rezultatele experimentului 1.2, adică valorile medii și abaterile standard ale amplitudinilor și fazelor calculată prin repetarea experimentului pentru trei valori ale parametrului α .

		Veloare reală	Veloare medie	Abatere standard
f	1		1,0052	0,0697
A	1		1,0051	0,0362
φ	0°		-1,2630°	3,9125°

tabul 4.2

Se constată că eroile de estimare sunt cu patim
mai mari decât cele obținute în experimentul 1.1. Având în
vedere că diferențele valorilor medii sunt mici în compara-
ție cu abaterile standard, rezultă că pentru compararea
estimațiilor trebuie să se aibă în vedere abaterile stan-
dard care sunt foarte apropiate în cele două experimente.
Se remarcă faptul că în experimentul 1.2 dimensiunea matri-
cei de date A_1 , astăzi 7×2 , mult mai mică decât dimensiunea
matricei $A_{\text{d}1}$, astăzi 10×2 , utilizată în experimentul 1.1. De a-
semenea în experimentul 1.1 este necesară aplicarea algorit-
mului de reducere. Rezultă, în experimentul 1.2, o simpli-
ficare a algoritmului și o reducere a timpului de calcul
necesar estimării frecvenței sinusoidale, în condițiile men-
ținerii unor eroare de estimare compatibile cu cele obținu-
te în experimentul 1.1.

Experimentul 1.3

Prin care în experiment se evidențiază posibilitatea
utilizării matricelor de date A_{S2} pentru estimarea coeficien-
ților de autoregresie, cu consecință măririi simulete a pa-
sului de eșantionare. Se demonstrează reducerea eroilor
de estimare a frecvenței sinusoidale prin măririle simulață
a pasului de eșantionare și reducerea factorului de supre-
determinare. În cîndrău de aceeași reducere volumului
și deci a timpului de calcul.

Pe intervalul de timp $t = 0,48$ se prelevesc un număr
de eșantioane $n=10$, cu pasul de eșantionare $T = 0,05s$.
Pentru estimarea coeficientilor de autoregresie se utili-
zează matricea de date A_{S2} , cu $L=2$. Dimensiunea matricei
 A_{S2} este 5×10 , adăugind un factor de supradeterminare
 $\varepsilon_2 = 2,5$. Prin urmare matricea de date A_{S2} , K_{S2} , se ob-
ține un factor de mărire relativă a pasului de eșantiona-
re $\eta_2 = 2$. Sistemele de ecuații liniare supradeterminante se re-
rezolvă prin metoda DVS. Coeficientii de autoregresie
se obțin ca elice. Coloana a matricei V , obținută din DVS
a matricei A_{S2} , din tabelul 4.3 se prezintă rezultatele ex-
perimentului 1.3, și că valorile medii și abaterile stan-

dard ale estimărilor calculate prin repetarea experimentului pentru 200 secvențe și urite de zgomot.

	Valoare reală	Valoare medie	Abatere standard
f	1	1,0100	0,0369
A	1	1,0063	0,0278
φ	0°	-1,3784°	2,4279°

Tabelul 4.3

În comparație cu similaritatea experimentului 1.2, se constată că valoarea reală a estimărilor pentru frecvență este mai deplasată în direcția experimentului cu c,0038. Pe de altă parte se constată, în experimentul 1.3, o reducere cu c,012, a abaterii standard făcând-o obținută în experimentul 1.2. Având în vedere că abaterea standard se reduce de aproape două ori și că este mult mai mare decât deplasarea valorii mediei, rezultă că erorile de estimare se redau considerabil. Aceasta este consecința măririi simulate, de două ori, a pascului de eșantionare, cu toate că factorul de supradeterminare s-a redus de la 3,5 la 2,5. Se remarcă faptul că în acest experiment dimensiunea matricei de date este 5×2 , mai mică decât dimensiunea matricei A_3 , 7×1 , utilizată în experimentul 1.2. Rezultă o reducere a volumului și deci a timpului de calcul necesar estimării frecvenței sinusoidei.

Experimentul 1.4

În acest experiment se evidențiază posibilitatea utilizării matricei de date A_3 pentru estimarea coeficienților de autoregresie. Se constată că efectul măririi simulate a pascului de eșantionare poate combina cu efectul reduce-

rii supradeterminării, pentru factori de supradeterminare mici. În acest caz, rămâne evantajul privind reducerea volumului și deci o timpului de calcul necesar estimării frecvenței sinusoidale.

Pe intervalul de timp $\Delta t=0,4s$ se preleveză un număr de eșantioane $n=9$, cu pasul de eșantionare $T=0,05s$. Pentru estimarea coeficientilor de autoregresie se utilizează matricea de date A_{g3} , cu $n=2$. Dimensiunea matricei A_{g3} este 3×1 , rezultând un factor de supradeterminare $\xi_3 = 1,5$. Prin utilizarea matricei de date A_{g3} , $K=3$, se obține un factor de cădere relativă a pasului de eșantionare $\eta_3=3$. Sistemul de ecuații liniare supradeterminat se rezolvă prin utilizarea DVS. Coeficientii de autoregresie rezultă ca ultimii coloanți a matricei V , obținută din DVS a matricei A_{g3} . În tabelul 4.4 se prezintă rezultatele experimentului 1.4, adică valorile medii și abaterile standard ale estimărilor calculate prin repetarea experimentului pentru 200 secunde, diferite de zecimal.

	Va loare media	Va loare medie	Abatere standard
f	1,0112	0,0398	
A	1,0063	0,0281	
φ	-1,4456°	2,4921	

Tabelul 4.4

Se constată că erorile de estimare sunt comparabile cu cele obținute în experimentul 1.3 și, în consecință, sunt mult mai decât cele obținute în experimentul 1.2. Rezultă că mai scădere similitudă a pasului de eșantionare de la $\eta_2=2$, experiment 1.1.3, la $\eta_3=3$, în experimentul 1.4, și încăorespunzătoare a supradeterminării

de la $\xi_2=2,5$, la $\xi_3=1,5$, cu efecte ce se compensează. Deoarece, în acest experiment, dimensiunea matricei A_{03} este 3×2 , mai mică decât dimensiunea matricei A_{02} , 5×2 , utilizată în experimentul I.5, rezultă o reducere a volumului și deci a timpului de calcul necesar estimării frecvenței sinusoidale.

Experimentul 1.5

Prin acest experiment se evidențiază posibilitatea reducerii numărului de operații prelevate pe un interval de timp constant și obținerea unor estimării comparabile, sau mai bune, prin mărire efectivă și simplitate a pasului de eșantionare și reducere supradeterminării.

Pe intervalul de timp $\Delta t=0,40$ se preleveză un număr de eșantioane $N=7$, cu pasul de eșantionare $t=0,0660$. Pentru estimarea coeficienților autoregresiei se utilizează matricea de date A_{02} , ca . În acest caz, dimensiunea matricei A_{02} este 3×2 , multind un factor de supradeterminare $\xi=1,5$. Prin utilizarea matricei A_{02} se obține un pas de eșantionare simbolic $1,132$. Sistemul de ecuații liniare supradeterminat se rezolvă prin utilizarea DVS. Coeficienții de autoregresie sunt ca ultimă coloană a matricei V , obținută din matricea de date A_{02} . În tabelul se prezintă rezultatele experimentului I.5, adică valoarea medie și abaterile standard ale estimărilor calculate în repetarea experienței pentru 200 secvențe de zgomot fizice.

	Valoare reală	Valoare medie	Abatere standard
f	1	1,0003	0,0399
A	1	1,0073	0,0299
φ	0°	$-1,6433^\circ$	$2,551^\circ$

Tabelul 4.5

Se constată că erorile de estimare sunt comparabile cu cele obținute în experimentul 1.3, 1.4 și sunt mult mai mici decât obținute în experimentul 1.2. Rezultă că mărirea șiua și a pasului eșantionare conduce la estimării mai bune, și totuște că pe intervalul de timp $\Delta t=0,4s$ se preleveză un număr de șapte eșantioane, față de nouă în experimentul 1.1, și factorul de supradeterminare scade la 1,5, de la 2,5. În plus, se obține o reducere a volumului și timpului calcul necesar estimării frecvenței sinusoidale.

Experimentul 1.6

Prin acest experiment se evidențiază posibilitatea reducerii erorilor de estimare a frecvenței sinusoidale, prin mărirea șiua și a pasului de eșantionare și mărirea numărului de eșantioane prelevate pe un interval de timp dat, fără să se întâlnească calculul necesar estimării coeficientilor de autoregresie.

Pe intervaluri de timp $\Delta t=0,4s$ se preleză un număr de eșantioane egal, cu pasul de eșantionare $t=0,02s$. Pentru estimarea coeficientilor de autoregresie se utilizează matricea date A_{87} , cu $L=2$. Dimensiunea matricii A_{87} este 7×8 , rezultând un factor de supradeterminare $\xi=3,5$. Prin utilizarea matricii A_{87} se obține un pas de eșantionare similar cu $0,14s$. Sistemul de ecuații liniare supradeterminate se rezolvă prin DVS. Coeficientii de autoregresie rezultă din ultimă coloană a matricei V , obținută din DVS a matricii de date A_{87} . În tabelul 4.6 se prezintă rezultatele experimentului 1.6, adică valorile medii și abaterile standard ale estimărilor calculate prin repetarea experimentului pentru 200 secvențe diferite de zgomot.

		Valoare medie	Abatere standard
f	1	1,0017	0,0302
A	1	0,9996	0,0194
φ		$-0,4312^\circ$	1,716''

Tabelul 4.6

Se constată că în acest experiment se obțin cele bune estimării pentru medie și abaterii standard, stăt sub aspectul valoarei mediei cît și al abaterii standard, în comparație cu estimările obținute în experimentele 1.1,...,1.5. Estimăriile pentru amplitudine și fază, fiind obținute în funcție de estimăriile pentru frecvență, rezultă și ele cele mai bune. Prin referire la experimentul 1.2, rezultă că reducerea erorilor de estimare se poate realiza prin mărirea simulației pe partea lui de eșantionare de 2,7 ori ($\eta_7=2,8$), menținerea constantă a supradeterminării, $\xi=3,5$, și mărirea numărului de eșantioane prelevate pe intervalul $\Delta t=0,4$ de la 9 la 21. Se precizează că volumul și timpul de calcul necesar estimării coeficientilor de autoregresie este același ca și în experimentul 1.2 dacă mătricile de date au aceeași dimensiune 7×2 ($\xi=3,5$).

Experimentul 1.7

Prin acest experiment se evidențiază posibilitatea recuperării intervalului de timp pe care se preleveză eșantioane, în condiția menținerei constante a erorilor de estimare. Această posibilitate rezultă din mărirea simulației pe partea mărirea numărului de eșantioane fără a mări timpul de calcul necesar estimării coeficientilor de autoregresie.

Pe intervalul $\Delta t=0,3s$ se preleveză un număr de eșantioane $N=19$, cu estimarea coeficientilor de date A_{35} , cu lărgirea dimensiunii matricei A_{35} este 7×2 rezultând un factor de supradeterminare $\xi=3,5$. Prin utilizarea matricei A_{35} se obține un pas de eșantionare simulant de 0,1s. Sistemul de ecuații inițiere supradeterminat se rezolvă prin DVS. Coeficientii de autoregresie rezultă ca ultimă coloană a matricei V , obținută din DVS a matricei de date A_{35} . În tabelul 4.7 se prezintă rezultatele experimentului 1.7, adică valorile medii și abaterile standard ale estimărilor calculate prin repetarea experimentului pentru 200 secvențe diferite de zgomot.

	Valoare reală	Valoare medie	Abatere standard
f	1	0,9966	0,0658
A	1	1,004	0,0208
φ	0°	-0,4766°	1,9671°

Tabelul 4.7

Se constată că erorile de estimare sunt cu puțin mai mici decât cele obținute în experimentul 1.2. Astfel, efectul redus al intervalului de timp la 0,3s, de la 0,4s în experimentul 1.2, se compensează cu efectul măririi simulației numără de eșantionare. În acest experiment pasul de eșantionare simulat este 0,1s, de două ori mai mare decât pasul pe care utilizat în construcția matricii de date în experimentul 1.2. Pentru a fi posibilă această mărire simulată, numărul de eșantionare, se prelevezând 19 eșantioane pe interval de timp $\Delta t=0,3s$, față de 7 eșantioane pe interval de timp $\Delta t=0,4s$, în experimentul 1.2. Se precizează că rezultatul calculului necesar estimării coeficientilor de amplitudine și fază este același ca și în experimentul 1.2 deoarece matricile de date au aceeași dimensiune $7 \times 2 \times 8$.

Experiment 4.8

În acest experiment se simulează un proces format din cinci sinusoidale eșantionate, cu amplitudinile și fazele sinusoidelor, prezentate în tabelul 4.8. Se preleveză un număr de 71 eșantioane, cu un pas de eșantionare $t=1/250s$. Intervalul de eșantionare este $\Delta t=0,27$, de unde se vede că sunt prelevate eșantioanele care sint prelevate eșantionarele din intervalul mai mare decât jumătate din perioada corespunzătoare unei sinusoiidei cu frecvență cea mai mică.

	Valoare reală	Valoare medie	Abatere standard
f ₁	2,00	1,92	0,20
f ₂	6,00	5,91	0,06
f ₃	20,00	19,99	0,12
f ₄	25,00	24,99	0,09
f ₅	30,00	29,99	0,00
A ₁	1,50	1,54	0,08
A ₂	1,25	1,24	0,04
A ₃	0,375	0,38	0,01
A ₄	0,625	0,62	0,01
A ₅	1,25	1,25	0,01
A ₁	90°	93°	9°
2	120°	120°	3°
3	150°	151°	7°
4	90°	93°	5°
5	135°	139°	1°

Labelul 4.8

Raportul semnal-zgomot,

$$SNR = 10 \log_{10} \frac{\sum_{n=0}^{N-1} \left\{ \sum_{k=1}^5 A_k \sin(2\pi f_k n + \varphi_k) \right\}^2}{E \sigma^2}, \quad (4.4)$$

este de 31 dB. Acea σ^2 reprezintă dispersia secenței de zgomot.

Acest proces este tratat în [10], printr-un algoritm ce corespunde utilizării matricei de date A_{di} , cu dimensiunea 70×30 . Se constată introducerea unui număr mare de sinusoide suplimentare. Rezultatele publicate în [10] sunt prezentate în tabloul 4.8. Valorile medii și abaterile standard ale tuturor părților pentru frecvențe, amplitudini și faze sunt obținute prin repetarea experimentului pentru 20 secvențe de zgomot. Se constată că erorile cele mai mari apar la frecvențele mici.

Experimentul 2.1

Prin acest experiment se evidențiază necesitatea măririi simulează-tilor de eșantionare la estimarea numărului și frecvențelor sinusoidelor.

Se utilizează matricea de date A_g , cu $N=25$, ceea ce indică că în sistem se introduce sinusoide suplimentare. Dimensiunea matricii A_g este 25×6 , rezultând un vector de supradeterminare $\mathcal{E}=10,16$. Se procedează la descompunerea valorilor secențe de zgomot în funcție de obțin valoriile singulare: $\sigma_1=45,1$; $\sigma_2=24,5$; $\sigma_3=3,1$; $\sigma_4=0,067$; $\sigma_5=0,020$; $\sigma_6=0,015$. Acest lucru evidențiază faptul că rangul trei matricii de date A_g . Rezultatul este evidențiată de prezența a trei sinusoide cu frecvențe care să fie mult mai mari dintre cele cinci conținute de proces. Aceasta poate fi explicată prin faptul că pe datele corespunzătoare, dimensiuni a matricei A_g nivelul frecvențelor mici se schimbă în modul spus, apărând frecvențe mici în eșantionare. În corăspundere cu aceea, linia a treia

A_B este aproximativ constant. În consecință estimatiile pentru frecvențe rezultă cu erori foarte mari.

Din cele de mai sus rezultă necesitatea utilizării matricilor de date A_{S4} , $n > 1$, deci a măririi simulate a pasului de eşantionare. Astfel, intervalul de timp corespunzător unei linii va crește, ceea ce va determina evidențierea, prin valorile singulare, a celor cinci sinusoide și obținerea unor estimări bune pentru frecvențe.

Experimentul 2.2

Prin acest experiment se evidențiază posibilitatea estimării numărului de sinusoide ca rang al matricei de date sumă și posibilitatea reducerii erorilor de estimare a frecvențelor sinusoidelor în urma măririi simulată a pasului de eşantionare. Se remarcă că mărirea sinusoidelor suplimentare și reducerea volumului de calcul necesar estimării frecvențelor sinusoidelor.

Pentru estimarea coeficienților de autoregresie se utilizează matricea de date A_{B4} , cu $L=10$. Dimensiunea matricei A_{B4} este 31×6 , rezultând un factor de supradeterminare $\xi=5,16$. Se procedează la descompunerea valorilor singulare a matricei A_{B4} . Pentru evenimentul de zgomot se obțin valori de rangul cinci: $\sigma_1=19,1$; $\sigma_2=17,0$; $\sigma_3=8,23$; $\sigma_4=7,51$; $\sigma_5=3,15$; $\sigma_6=0,025$. Deoarece $\sigma_6 \ll \sigma_1$, rezultă că matricea A_{B4} este foarte aproape, în sensul normei spectrale sau Frobenius, de o matrice de rang egal cu cinci. Astfel, se evidențiază probabilitatea celor cinci sinusoidi continute de proces și se confirmă posibilitatea estimării numărului de sinusoide ca rang al matricei de date sumă. Coeficienții de autoregresie rezultă în ultimă coloană a matricei și obținută din DVS a matricei de date A_{B4} . În tabelul 4.8 sunt prezentate rezultatele experimentului 2.2, adică valoriile lor și abecările standard ale estimărilor calculate în repetarea experimentului pentru 20 secvențe diferite de zgomot.

Se constată, faptul rezultatelor din tabelul 4.8 și publicate în [10], o îmbunătățire substanțială a estimării

	Velocare reală	Velocare medie	Astere standard
f_1	2,00	1,997	0,0135
f_2	6,00	6,001	0,0062
f_3	20,00	19,997	0,0115
f_4	25,00	25,001	0,0117
f_5	30,00	29,999	0,0036
A_1	1,50	1,500	0,0031
A_2	1,25	1,349	0,0024
A_3	0,375	0,375	0,0005
A_4	0,625	0,624	0,0003
A_5	1,25	1,249	0,0006
1	90°	90,09°	0,60°
2	120°	119,95°	0,22°
3	150°	150,12°	0,62°
4	90°	90,92°	0,58°
5	135°	135,04°	0,19°

Tabloul 4.8

lor pentru frecvențe medii cît și c

, amplitudini și viteze, atât cele medii cît și standarde. Astările standarde sunt de la

estimațiilor se reduc cu mult de un ordin, în special la frecvențele mici. Aceasta este consecința măririi simulată pasului de eșantionare cu patru ori. Se remarcă faptul că în experimentul 2.2, dimensiunea matricei de date A_{S4} este 32×8 , mult mai mică decât dimensiunea matricei A_{D1} (70×35), utilizată în /lo/. De asemenea, în acest experiment nu se introduc sinusoide suplimentare, astfel încit nu se pune problema utilizării unui algoritm rate. Rezultă, în experimentul și o reducere semnificativă a estimării frecvențelor. În experimentul isolat

selectare a sinusoidelor detectate în 2.2, o simplificare a algoritmicii a volumului de calcul necesară pentru estimarea sinusoidelor în comparație cu /lo/.

Experimentul 2.3

Prin acest experiment se demonstrează posibilitatea reducerii erorilor de măsurare prin măririle simulată.

Pentru estimarea utilizată numai primele 50 de valori medii din intervalul disponibil, cu $L=10$. Dimensiunile sunt cînd un factor de suprafață de zgromadit se obțin : $\sigma_1=13,7$; $\sigma_2=9,05$; $\sigma_3=4,16$; $\sigma_4=2,75$; $\sigma_5=0,0035$. Rezultă că rangul efectiv al lorile singulare indică că sistemul de ecuații liniare. Coeficientii de autorematricei V , obținute din tabelul 4.lo se prezintă:

Variajile medii	1	2	3	4	5
Valoare	1,00	0,99	0,98	0,97	0,96
Abatere	0,00	0,01	0,02	0,03	0,04

prin repetarea experiențelor de zgromadit.

Față de rezultatul se constată o îmbunătățire

se evidențiază posibilitatea de a reduce erorile sinusoidelor, înăuntrul de eșantionare.

Coefficienților de autorematrice se adaugă totalele de eșantioane din ecuație 71 utilizat în 2.2. Aceasta înseamnă o re-

ducere a intervalului Δt , pe care personalul se confruntă întrucât de data construirea matrică de date este 13×6 , și către $\epsilon=1,16$. Într-o secvență singulare : $\sigma_1=13,7$; $\sigma_2=9,05$; $\sigma_3=4,16$; $\sigma_4=2,75$; $\sigma_5=0,0035$. Deoarece $\sigma_6 \ll \sigma_5$ rezultă că matricei A_{S4} este cincis. Astfel nu se determină totalele de eșantioane care se rezolvă prin L.D. rezultă că ultimul coloană a matricei de date A_{S4} .

In tabelul experimentul lui 2.3, adică înainte de estimăriile calculeate pentru 20 valori diferențiale în /lo/, tabelul 4.3,

rezultă o estimare a estimărilor pentru

	Valoare reală	Valoare medie	Abatere standard
f_1	2,00	1,993	0,0505
f_2	6,00	6,004	0,0234
f_3	20,00	19,991	0,0402
f_4	25,00	25,001	0,0118
f_5	20,00	30,005	0,0257
A_1	1,1	1,499	0,0070
A_2	1,1	1,247	0,0184
A_3	0,71	0,374	0,0042
A_4	0,6	0,623	0,0058
A_5	1,1	1,249	0,0019
1	90°	90,25°	2,09°
2	120°	119,81°	1,03°
3	150°	150,33°	1,52°
4	90°	89,80	0,89°
5	130°	134,79°	0,97°

Tablul 4.10

frecvențele mici.
a pasului de c.
sul este consi

nta este consecința mărimii similate
ante de patru ori, cu toate că proce-
dabil pentru extințare e un

interval de timp Δt redus cu 25%, și se prelucră un număr de eșantioane redus, de asemenea, cu 25%. Estimările obținute în acest experiment sunt mai puțin bune decât cele obținute în experimentul 2.1, tabelul 4.9. Aceasta se explică prin reducerea intervalului de timp Δt și prin reducerea factorului de supradeterminare al sistemului de ecuații liniare cu care se estimatează coeficientii de autoregresie, de la 5,16 la 2,16. Volumul de calcul necesar estimării frecvențelor sinusoidelor în acest experiment este foarte redus. De asemenea, în vedere dimensiunile tricilor de date utilizate la estimarea frecvențelor : A_{31} de dimensiune 70×36 în /lo., A_{34} de dimensiune 31×31 în experimentul 2.2 și A_{34} de dimensiune 13×6 în experimentul 2.3.

Experimental . . .

Prin acest experiment se evidențiază posibilitatea estimării numărului de liniile side ca rang efectiv al matricii de date sumă prin utilizarea DVS. De asemenea se evidențiază fenomenul de despicate a liniilor speciale în cazul utilizării sinusoidelor suplimentare.

	f_1	i_2	f_3	f_4	f_5	f_6	f_7
1°	1,9971	6,0002	12,232	14,072	20,002	25,0002	30,0003
2°	2,0451	5,0004	12,29	17,765	20,002	25,004	30,0005

Tabelul 4.11

adevărate, care pot fi identificate ușor în tabelul 4.11. În realizarea 2°, se constată prezența fenomenului despărțire a linilor spectrale. Astfel, întreaga sinusoidă cu frecvență 6,0002 este împărțită în trei componente la cu frecvențele 5,0004 și 12,29. Oricare dintre acestea reprezintă o estimare de creștere mare a frecvenței sinusoidale.

În cele ce urmează se va preciza aspectul experimentelor prezentate în susținerea contribuțiilor originale ale lucrării. Astfel, întrucât rulul de sinusoidă este date sună, rezultat din analiza va fi evident că, prin experimente

intervalul de timp corespunzător unei linii a matricii a cărui este foarte scurt în raport cu perioada frecvenței unei linii a matricii, cîntă valorile lor mari, ceea ce în caz este nevoie să se simuleze pasul intervalului de date. Astfel, de sinusoide, cînd 2,2, 2,3 și 2,4.

Bătările liniare generate de DVS sunt

rificenților de entorezisie corespunzătoare coloanele ale matricii V, rezultă de date directe-inverse, cîte evi-

dentiată prin experimentul 1.1. Deoarece în acest experiment este introdusă o sinusoidă complementară, se utilizează algoritmul de reducere care îl separarea sinusoidei adevărate.

Utilizarea matricei de mărire coeficientilor de experimentul 1.2. Astfel obțin erori de estimare comparabile cu cele din experiențe directe-inverse, cu avanajului de calcul.

Concluzia, rezultată din analiza teoretică a erorilor inaccidelor, conform căreia erori mai mari cu cît frecvențele raport cu frecvența de egantionare, este susținută prin tabelul 4.8), precum și prin tabelul 4.9 și 2.3 (tabelul 4.10).

Utilizarea matricei de pasului de egantionare și regresie este susținută prin experimentele 2.3 și 2.4.

Reducerea erorilor și a volumului de date prin mărirea simulației de estimare coeficientilor de autoregresie este susținută prin experimentele 1.3, 1.4, 2.2 și 2.3. Aceasta se obține în condiția menținării constante a numărului de eșantioane prelevate pe un interval de timp dat, pe care probabil se consideră disponibile. Datele A_{s2} și A_{s3} , în extenție o reducere a obșterii frecvență de aproape două ori care se utilizează matricea deci a timpului de calcul de autoregresie este dată:

A_{s1} (7 x 2), A_{s2} (5 x 2) și A_{s3} (3 x 2). În utilizarea matricei de

date sumă și a DVS, pentru autoregresie este susținută prin obțin erori de estimare comparabile cu cele din experimentul 1.1, bazat pe matricea de date și a reducerii considerabile a volumului de calcul.

Analiza teoretică a erorilor inaccidelor, conform căreia erori mai mari cu cît frecvențele raport cu frecvența de egantionare, este susținută prin experimentele 2.2 (tabelul 4.9)

de date sumă cu mărire simulație de estimare coeficientilor de autoregresie este susținută prin experimentele 1.3, ..., 1.7, 2.2, 2.3 și 2.4.

Reducerea erorilor și a volumului de date prin mărirea simulației de estimare coeficientilor de autoregresie este susținută prin experimentele 1.3, 1.4, 2.2 și 2.3. Aceasta se obține în condiția menținării constante a numărului de eșantioane prelevate pe un interval de timp dat, pe care probabil se consideră disponibile. Datele A_{s1} și A_{s2} , în extenție o reducere a obșterii frecvență de aproape două ori care se utilizează matricea deci a timpului de calcul de autoregresie este dată:

A_{s1} (7 x 2), A_{s2} (5 x 2) și A_{s3} (3 x 2). În utilizarea matricei de

proces format din cinci sinusoide, se obține o îmbunătățire substanțială a cărăbușilor pentru frecvențe față de rezultatele publicate în /10/. Ahaterile standard se reduc cu mai mult de un ordin, în special la frecvențele mici. Pentru a sublinia importanța mărимii simulete a pasului de eșantionare se consideră experimentul 2.3 în care se formează matricea A_{S4} număr 1 cu primele 75% din eșantioanele utilizate în experimentul 2.2 și în /10/. Si în aceste condiții se obține că varianțe substanțiale a erorilor de estimare față de rezultatele publicate în /10/, în special pentru frecvențele mici. Reducerea volumului de calcul necesar estimării coeficientelor de autoregresie este dată de dimensiunile matricelor de date A_{di} (70×36) în /10/, A_{S4} (31×6) în experimentul 2.2 și A_{S4} (13×6) în experimentul 2.3.

Eliminarea necesității introducerii sinusoidelor suplimentare este lăsată printr rezultatele experimentelor 2.2 și 2.3 în comparație cu rezultatele publicate în /10/. Lărirea simuleată a pasului de eșantionare conduce la mărirea intervalului de timp corespunzător eșantioanelor ce compun o linie a lui Lini de date, efect ce se constată și în cazul introducerii sinusoidelor suplimentare. Astfel, în experimentele ... 2.3 nu se introduc sinusoide suplimentare și se obțin cărăbușii mult mai bune față de cele publicate în /10/, în ceea ce introduce un număr mare de sinusoide suplimentare. Lărirea sinusoidelor suplimentare conduce la o simplificare a algoritmului de calcul decare nu mai este nevoie de selectarea sinusoidelor adevărate. În plus se elimină cibilitatea apariției efectului de despărțire a liniilor, efect evidențiat în experimentul 2.4.

Potrivit reducerii numărului de eșantioane și menținerea constantă a reducerea erorilor de estimare, prin mărirea său altă a pasului de eșantionare și reducerea supradeterminării, este susținută prin experiment 2.5. Eșantioanele în care sunt redus sint prelevate pe același inter-

val de timp pe care procesul se consideră disponibil. În experimentul 1.5 se utilizează un număr de șapte eşantioane și matricea de date A_{S2} , ceea ce inducă o reducere a abaterii standard a estimărilor pentru frecvență cu peste 40% mai mic decât cea obținută în experimentul 1.2, unde se utilizează un număr de 9 eşantioane. Matricea $A_S = A_{S1}$. În plus se obține o reducere a volumului de calcul ceea ce constată din dimensiunile matricilor de date A_{S2} (3×2) în experimentul 1.5 respectiv A_{S1} (7×2) în experimentul 1.2.

Reducerea erorilor de estimare a frecvențelor sinusoidelor prin mărirea simbolului de pasului de eșantionare, mărirea numărului de eșantioane și menținerea constantă a supradeterminării, este susținută și în experimentul 1.6. Eşantioanele în număr mărit sănt prelevate pe același interval de timp pe care procesul se consideră disponibil. Astfel prin prelevarea unui număr de 21 eșantioane și utilizarea matricei de date A_{S7} se obțin cele mai bune estimării pentru sinusoida considerată în experimentul 1, atât ca valoare medie cât și ca abatere standard (tabelul 4.5). Se precizează că volumul de calcul necesar estimării coeficienților de autoregresie este același ca și în experimentul 1.2 și rezultă din menținerea constantă a supradeterminării.

Poziibilitatea ieșirii în intervalul de timp pe care se preleveză eșantioane și condiția menținerii constantă a erorilor de estimare, prin mărirea simbolului de pasului de eșantionare, mărirea numărului de eșantioane și menținerea constantă a supradeterminării, este susținută prin experimentul 1.7. Astfel, prin ieșirea matricei de date A_{S6} construite cu un număr de 19 eșantioane prelevate pe un interval de 10 secunde cu 25% față de interval corespunzător experimentului 1., în care se utilizează matricea $A_S = A_{S1}$ construită cu 9 eșantioane, se obțin eroare de estimare cu puțin mai mici decât cele obținute în experimentul 1.2. Se precizează că volumul de calcul necesar estimării coeficienților de autoregresie este același ca și în experimentul 1.2 și rezultă din menținerea constantă a supradeterminării.

5. CONCLuzii

Problema de a determina numărul și frecvența sinusoidelor care se prezintă în domeniul spectrului unei semnale bazată pe modelul Prony de estimare a liniilor spectrale. Conform acestui model, un semnal se poate reprezenta în domeniul frecvenței ca o sumă de sinuside care în cadrul cărora nu se impun corelații sonice. Astfel, pentru un semnal dat printr-o secvență de date $\{y_n\}$, $n = 1, 2, \dots, N$, problema este de a estimări numărul și amplitudinile și fazelor acestor sinuside, și frecvențele lor. Estimarea frecvențelor sinusoidelor se face prin două proceduri în două etape, care se bazează pe faptul că un proces format din sinuside este un proces autoregresiv cu coeficienții de autoregresie simetrice și ale căror valori depind de frecvențele sinusoidelor și nu depind de amplitudinile și fazelor lor. Astfel, în prima etapă, se estimează coeficienții de autoregresie și corelația modelului autoregresiv cu secvența de date. În a doua etapă se determină frecvențele și coeficienții de autoregresie. Estimarea fazelor se face în funcție de frecvențele și de secvența de date.

Contribuția noastră la rezolvarea problemei de a determina numărul și frecvența sinusoidelor care se prezintă în domeniul spectrului este următoarea:

1. Având în vedere că un proces format din sinuside este un proces autoregresiv cu coeficienții de autoregresie simetrici, se poate calcula matricea de auto sumă. De aceea se poate calcula numărul și coeficienții de autoregresie și de matricele care sunt legate, în-

verse sau direct-inverse, se creează preiau reducerii volumului de calcul necesar estimării numărului și frecvențelor sinusoidelor.

2. Se demonstrează în lucrarea de față, că rangul matricei de date sumă, ceea ce înzătoare unui proces format din sinusoide, este egal cu numărul de sinusoide. Astfel, numărul de sinusoide cu care se poate leza un proces, se estimează ca rang efectiv al matricei date sumă. Rangul efectiv se obține din analiza valorilor singulare rezultată din DVS a matricei de date sumă, singura determinarea numerică a turorățiilor și a erorilor fizice, că valorile singulare ului format din sin-

suoide sunt generală de încredere pentru obținerea unei matrice în prezența purificării. Se arată, în lucrarea de la urmă, că posibilitatea corelării este cu procesul utilizat.

3. Pentru estimarea utilizării matricei de volumului de calcul necesar a numărului de coeficienți și a erorilor utilizării matricilor de autoregresie.

4. Rezolvarea sistemului de ecuații liniare supradeterminat pentru estimarea matricei de date propune, în lucrarea de la urmă, că rezolvarea sistemelor de ecuații liniare supradeterminate este avută în condițiile existenței perturbațiilor și a erorilor fizice.

5. În cazul utilizării sinusoidelor suplimentare se propune utilizarea algoritmului de reducere pentru identificarea sinusoidelor adevărate. Algoritmul este aplicabil în cazuri directe, inverse, sau directe-inverse.

eficienților de autoregresie și al cărui permite reducerea volumului de calcul, prin reducerea la jumătatea matricei de autoregresie, într-un de cazul eficiente, inverse sau directe-inverse.

eficienților de autoregresie și al cărui permite reducerea volumului de calcul ca o sumă de sinusoide, cu ultimele coloane ale matricei V, de date. Se specifică /21/ că utilizarea DVS la soluționarea sistemelor de ecuații liniare supradeterminate este avută în condițiile existenței perturbațiilor și a erorilor fizice.

în sinusoidelor suplimentare se propune utilizarea algoritmului de reducere pentru identificarea sinusoidelor adevărate. Algoritmul este aplicabil în cazuri directe, inverse, sau directe-inverse.

6. În lucrarea de față s-a analizat erorile de estimare a frecvențelor sinusoidale corespunzătoare celor două etape de calcul. Din analiza teoretică rezultă că erori de estimare mari apar pentru frecvențele mult mai mici decât frecvențele de campionare, fapt constatat experimental în bibliografie pînă și în experimentele efectuate în prezența lucrării. Se obține, astfel, concluzia privind necesitatea măririi pasului de campionare.

7. Se constată, prin prezenta lucrare, matricile de date cu mărire simulații a pasului de egantionare. Aceste matrici se construiesc pe baza secvenței de date ca și matricile de date precizate anterior. Mărirea simulață a pasului de egantionare rezultă din extințarea egantionelor în liniile matricei, nu în ordine consecutivă, ci din K în K , unde $K = 2, 3, \dots$. Această definire a matricilor de date este o definiție generală, deoarece pentru $K=1$ se obțin matricile de date precizate anterior.

8. Utilizarea matricilor de date cu mărirea simulață a pasului de egantionare conduce la mărirea intervalului de timp corespondent egantionelor ce intervin într-o linie a matricei de date. Se constată, în acestă lucrare, că mărirea acestui interval de timp se obține și în cazul introducerii sinusoidelor implementare, dar cu prețul măririi volumului de calcul, și fiecare se estimează un număr mai mare de coeficienți decât în cazul și cu prețul complicării algoritmului de calcul, și fiecare se estimează un număr mai mare de coeficienți decât în cazul și cu prețul complicării algoritmului de calcul, și fiecare este necesară identificarea sinusoidelor adăvătate. Mărirea intervalului de timp corespunzător unei linii secvenției de date conduce la reducerea substanțială a erorii de estimare a numărului și a frecvențelor sinusoidelor.

9. Utilizarea egantionelor secvenței de date în matricile cu mărire simulații a pasului de egantionare este mai uniformă, în sensul că se poate să, în mărirea lui K , fiecare egantion să întâlnească o singură dată în matrice. Acest fapt conduce la informatizarea procesului egantionărilor secvenței de date și la viantaile rezultante prin utilizarea matricilor de date cu mărirea pasului de egantionare.

10. Se arată, în lucrarea de față, că utilizarea matricilor de date sumă cu sirinea simulată a pasului de egantionare conduce la reducerea erorilor de estimare a numărului de sinusoide continute de un proces. Numărul de sinusoide se estimatează ca rang efectiv al acestor matrici de date. Rangul efectiv rezultă din analiza valorilor singulare.

11. Având în vedere că mărirea simulată a pasului de egantionare și introducerea sinusoidelor suplimentare au același efect de mărire a intervalului de timp corespunzător unei linii a matricei de date, se afiră și se demonstrează experimental eliminarea necesității introducerii sinusoidelor suplimentare. Se obține, astfel, reducerea volumului de calcul, simplificarea algoritmului estimare a frecvențelor sinusoidelor și eliminarea posibilei țări de apariție a fenomenului de despicate a liniilor spectrale.

12. Se analizează teoretic și se demonstrează experimental reducerea erorilor estimare a frecvențelor sinusoidelor și a volumului de calcul prin mărirea simulată a pasului de egantionare și reducerea supradeterinței înării sistemului de ecuații liniare. Această obținere în condiția menținerii constante a numărului de ecuații prelevate pe un interval de timp dat, pe care procesul factori de supradeterminare terminării poate compenzi de egantionare. În acest caz volumului și deci și al fișelor sinusoidelor.

Astfel, în experiment din cinci sinusoide la șase cu patru a pasului de erorilor de estimare față de erorile obținute Dimensiunile matricilor de ecuații liniare supradeterminată și 70 x 36 în /10/.

13. Se afiră și se demonstrează experimental posibilitatea reducerii numărului

de ecuații referitor la un proces surditiv, prin mărirea simulării, se obține o reducere a erorilor de mai mult de un ordin în același experiment în /10/. De care generează sistemele de te sunt 31 x 6 în experimental

tă sau reducerea erorilor de estimare, prin mărirea simulață a pasului de eșantionare și reducerea supradeterminării. În acest caz, apără și o mărire efectivă a pasului de eșantionare deoarece se preleveză mai puține eșantioane pe un interval de timp dat.

14. Se demonstrează că, în condiția obținerii unui sistem de ecuații liniare cu factori de supradeterminare dat, este posibilă mărirea simulață a pasului de eșantionare, prin mărirea numărului de eșantioane prelevate pe un interval de timp dat. Să arătăm că un pas de eșantionare mic nu este util decât la formarea lui de eșantionare, ci din K în K, și că acest dezavantaj este eliminat. În prezentă lăsăm să arimă și se demonstrează că, prelevarea unui număr mare de eșantioane pe un interval mic, poate conduce la obținerea unei estimații mai bune pentru frecvențele înseidelor, numai prin mărirea simulață a pasului de eșantionare. Deoarece supradeterminarea este constantă rezultă că și volumul de calcul necesar estimării frecvențelor și.

15. Din puncte teoretice și din rezultate experimentale se arată, în lucrarea de fată, că este posibilă reducerea intervalului de timp pe care se preleveză eșantioanele cu menținerea constantă a erorilor de estimare. Erori de estimare se mențin prin impunerea unei supradeterminări constante și prin compensarea efectului reducerii intervalului de timp cu efectul măririi simulață a pasului de eșantionare. Pentru aceasta este necesară mărirea numărului de eșantioane și rezultă că și volumul de calcul necesar estimării frecvențelor și se referitor la un proces de mărire a pasului de eșantionare, prin mărirea

reducere cu 25% a intervalului de timp pe care se prelevesc eșantioanele, în condiții lărgirii constante a erorilor de estimare a frecvenței sinusoidale.

Toate contribuțiile lucrării sunt susținute prin rezultate experimentale prezentate în capitolul 4.

Contribuția centrală a lucrării constă în definirea și introducerea matricilor de date cu mărire simulantă a pasului de eșantionare. Prin acest lucru se mărește intervalul de timp corespunzător eșantioanelor ce compun o linie a matricei de date. Se constată, prin această lucrare, că mărirea acestui interval de timp se obține și prin introducerea rădăcinilor suplimentare în polinomul caracteristic cu care se estimează coeficienții de autoregresie. Lărgirea simulantă a pasului de eșantionare, ca și introducerea rădăcinilor suplimentare se face cu prețul reducerii supradeterminării sistemului de ecuații liniare, cu care se estimatează coeficienții de autoregresie. În cazul introducerii rădăcinilor suplimentare rezultă, în plus, o mărire a volumului de calcul necesar estimării, deoarece numărul coeficienților de autoregresie este mai mare și o complicare a algoritmului, ceea ce este necesară separarea rădăcinilor adevarate ale polinomului caracteristic. Se afișă în literatură /21/, /22/, /63/, /69/, /54/, /62/, /41/, pe baza experimentelor, că introducerea rădăcinilor suplimentare conduce la reducerea erorii de estimare a coeficienților de autoregresie. Rezultatul acestuiă reducere a erorilor de estimare este de așteptat în cazul utilizării matricilor de date cu mărire simulantă a pasului de eșantionare. Se remarcă, de asemenea, că distribuția evenimentelor de sporire a eșantioanelor în matricile de date cu mărirea simulantă a pasului de eșantionare tinde să se uniformizeze. Astfel, pentru K suficient de mare fiecare eșantion este utilizat o singură dată în matrice. Acest fapt conduce la o uniformizare a ponderii eșantioanelor ce compun succesiunea de date în estimările pentru coeficienții de autoregresie.

Considerările prezentate mai sus se referă la utilizarea matricilor de date cu mărire simulantă a pasului de eșan-

tionare în cazul general al estimării coeficientilor de autoregresie.

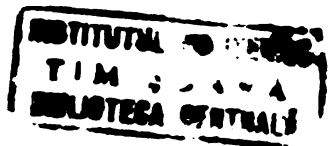
Utilizarea, în lucrarea de față, a matricei de date sumă cu mărire și multă a pasului de echantionare la estimarea liniilor spectrale conduce la reducerea considerabilă a erorilor de estimare a frecvențelor sinusoidelor simultan cu reducerea volumului de calcul și simplificarea algoritmului.

Rezultă că, rezultări viitoare pot evidenția utilitățile matricilor de date cu mărire similită a pasului de echantionare la reducerea erorilor de estimare și a volumului de calcul, în cazul general al estimării coeficientilor de autoregresie și în particolare la estimarea parametrilor modelului format din sinusoidă atenuată exponential. Acest model este utilizat în metoda Rony de estimare a densității spectrale de energie.

BIBLIOGRAFIE

1. R.Bellman, Introducere în analiza matricială. Editura Tehnică, Bucureşti, 1957.
2. L.Bloomfield, Fourier Analysis of Time Series : An Introduction. New York, Wiley, 1976.
3. G.E.P.Box and G.H.Jenkins, Time Series Analysis. Forecasting and Control. San Francisco, CA: Holden-Day, 1970.
4. D.R.Brillinger, The problems of tapering in spectrum estimation, Trans. Acoust., speech, Signal Processing, vol.ASSP-29, pp.1075-1081, Oct.1981.
5. C.L.Bucur, C.A.Popescu, M.Simion, Matematici speciale. Calculul numeric. Editura didactică și pedagogică, Bucureşti, 1983.
6. Gh.Cartianu, Analiza matematică a circuitelor electrice, Editura didactică și pedagogică, Bucureşti, 1971.
7. Y.T.Chen, J.H.L.Lavey, C.J.B.Plant, A parameter estimation approach to the detection of frequencies of sinusoids, IEEE Trans. Acoust., speech, Signal processing, vol.ASPR-29, pp.214-219, Apr.1981.
8. G.Ciucu, G.Craiu, Teoria estimării și verificarea ipotezelor statistice, Editura didactică și pedagogică, 1968.
9. T.van Eck, Periodicities in short-time series : frequency, amplitude and initial phase determinations, Report nr.3-46, Seismological Section, Utrecht University, Utrecht, 1936.
10. T.van Eck, Quantitative determination of periodicities from short time series, Trans.Acoust., speech, Signal Processing, vol.ASPE-1, pp.329-331, apr.1981.

11. D.C.Farden, Solution of a Toeplitz set of linear equation, IEEE Trans. Antennas Propagat., vol.AP-24, pp.906-908, Nov.1976.
12. G.E.Forsythe, A.I.Malcolm, and C.B.Kolm, Computer Methods for Mathematical Computations. Englewood Cliffs, N.J.: Prentice-Hall, 1977.
13. St.Gărășu, reîncrarea în timp real a semnalelor fizice, Scrisul Românesc, Craiova, 1978.
14. S.Gărășu, C.Ropea, S.Ionel, Introducere în analiză spectrală și de corelație. Edit.Facila, Timișoara, 1981.
15. W.Gersch and J.Bonifato, Automatic classification of EEG's: A parametric model new features for classification approach, in Proc. 1977 Joint Automatic Control Conf., pp.762-769, June 1977.
16. B.Gold and C.Rader, Digital Processing of Signals, McGraw Hill, New York, 1969.
17. G.H.Golub and C.Veinsch, Singular value decomposition and least squares solution, Numer.Math., vol.14, pp. 403-420, 1970.
18. L.J.Griffiths and M.Rrierto-Díaz, Spectral analysis of natural seismic events using autoregressive techniques, IEEE Trans. on Acoustics Electronics, vol.GE-15, pp.13-25, Jan.1977.
19. F.J.Harris, On the use of windows for harmonic analysis with the discrete Fourier transform, Proc.IEEE, vol.66, pp.51-83, Jun.1978.
20. S.S.Haykin, et., Nonlinear Methods of Spectral Analysis, New York, Springer-Verlag, 1979.
21. T.L.Henderson, Geometric methods for determining system poles from transient response, IEEE Trans.Acoust., Speech, Signal Processing, vol.ASSP-29, pp.982-983, Oct.1981.
22. E.K.Hung and R.W.Herring, Simulation experiments to compare the signal detection properties of DFT and MLL "spectra", IEEE Trans.Acoust,Speech, Signal Processing, vol.ASSP-29, pp.1084-1089, Oct.1981.



23. G.M.Jenkins and D.G.Watts, **Spectral Analysis and Its Applications**. San Francisco, CA: Holden-Day, 1968.
24. S.M.Key, S.L.Larple,Jr., **Spectrum analysis - a modern perspective**, *Proceedings of the IEEE*, vol.69, pp.1380-1391, Nov.1981.
25. V.C.Klemm and A.J.Smith, **The singular value decomposition: Its computation and some applications**, *IEEE Trans. Automat.Contr.*, vol.AC-25, pp.164-176, Apr.1980.
26. K.Konstantinides and, **Applications of singular value decomposition to system modeling in signal processing**, *IEEE Int.Conf.Acoustics, Speech and Signal Processing*, 1983.
27. L.H.Koopmans, **The Spectral Analysis of Time Series**. Academic Press, New York and London, 1974.
28. R.Kumaresan and D.B.Todd, **Estimating the parameters of exponentially damped sinusoids and pole-zero modeling in noise**, *IEEE Trans.Acoust., Speech, Signal Processing*, vol.ASSP-30, pp.833-840, Dec.1982.
29. R.Kumaresan, **On the zeros of the linear prediction-error filter for deterministic signals**, *IEEE Trans.Acoust., Speech, Signal Processing*, vol.ASSP-31, pp.217-220, Feb. 1983,
30. P.Lancaster, **Theory of Matrices**. Academic, 1969.
31. T.E.Landers and R.L.Peters, **Some geophysical application of autoregressive spectral estimates**, *IEEE Trans.Geoscience Electronics*, vol.GE-15, pp.26-32, Jan.1977.
32. W.Leng and J.H. Tufts, **Frequency estimation with maximum entropy spectral estimators**, *IEEE Trans.Acoust., Speech, Signal Processing*, vol.ASSP-28, pp.716-724, Dec. 1980..
33. C.L.Lawson and R.J.Hanson, **Solving Least-Squares Problems**. Englewood Cliffs, NJ: Prentice-Hall, 1974.
34. A.Leonte, C.Vraciu, **Elemente de calcul matricial cu aplicatii**. Editura Tehnică, Bucuresti, 1975.

35. S.Levy, C.Walkar, T.J.Ulrych and P.K.Fullager, A linear programming approach to the estimation of the power spectra of harmonic processes, Trans.Acoust., Speech, Signal Processing, vol. ASSP-30, pp.675-679, Aug.1982.
36. J.Lakhoul, Linear prediction: A tutorial review, Proc. IEEE, vol.63, pp.561-580, 1975.
37. J.Lakhoul, Spectral Linear Prediction: Properties and Applications, IEEE Trans. on Acoust., Speech, Signal Processing, vol.ACSP-23, pp. 283-296, June 1975.
38. S.B.Marple,Jr., Conventional Fourier, autoregressive, and special linear methods of spectrum analysis, Engineer's Dissertation, Stanford Univ., Stanford, CA, Dep.Elec.Eng., cc.1976.
39. S.B.Marple,Jr., Spectral line analysis via a fast Prony algorithm, 1982, IEEE.
40. S.B.Marple,Jr., Fast algorithms for linear prediction and system identification filters with linear phase, IEEE Trans.Acoust., Speech, Signal Processing, vol. ASSP-30, pp.942-953, Dec.1982.
41. S.B.Marple,Jr., A fast algorithm for end performance of the Kondor-Prony method of spectrum analysis, IEEE Int.Conf.Acoustics, Speech and Signal Processing, 1983.
42. Gh.Lihoc, V.Catin, Tratat de statistică matematică. Selectie și sisteme. Vol.1, Edit.Academiei R.S.R., București, 1971.
43. Gh.Lihoc, V.Catin, Tratat de statistică matematică. Vol.IV. Correlație și regresie liniară. Editura Academiei RSR, 1981.
44. Ed.Nicolae, M.Popovici, Introducere în cibernetica sistemelor hibride. Editura tehnică, București 1985.

45. A.H.Nuttall, Some windows with very good sidelobe behavior, IEEE Trans.Acoust., Speech, Signal Process., vol. ASSP-29, pp.84-91, Feb.1981.
46. A.V.Oppenheim and R.W.Schafer, Digital Processing of Signal. Englewood Cliffs, NJ: Prentice-Hall, 1975.
47. R.K.Ottes and L.Ingenier, Digital Time Series Analysis. New York: Wiley, 1972.
48. A.Papoulis, The Fourier Integral and its Applications, McGraw-Hill Book Company, 1962.
49. A.Papoulis, Probability, Random Variables, and Stochastic Processes. New York: McGraw-Hill, 1965.
50. A.Papoulis, Signal Analysis. New York, McGraw-Hill, 1977.
51. A.Papoulis, Maximum entropy and spectral estimation: A.Review, Trans.Acoust., Speech, Signal Processing, vol. ASSP-29, pp.1176-1188, Dec.1981.
52. Gh.Pic, Algebră superioară. Editura didactică și pedagogică, București, 1966.
53. V.F.Pisarenko, The retrieval of harmonics from a covariance function, Geophysical J.Royal Astronomical Soc., vol.33, pp.347-366, 1973.
54. A.J.Poggio, B.L.Van Veen, B.K.Miller, and K.Littre, Evaluation of a precision technique for transient data, IEEE Trans.Antennas Propagat., vol.AP-26, pp.165-173, 1978.
55. B.Pop, V.Stoica, Prințipii și metode de măsurare numerică, Editura Fisica, 1977.
56. Rabiner L.R. and B.Gol, Theory and Application of Digital Signal Processing, Prentice Hall Inc., Englewood Cliffs, New Jersey, 1975.
57. A.P.Sage and J.L.Lehse, Estimation Theory with Application to Communication and control. New York, McGraw-Hill, 1972.

58. **x x x**, SIRAC. Sistem de programe pentru identificarea și proiecțarea asistată de calculator a sistemelor automate. Manual de prezentare și utilizare. Institutul Central pentru Conducere și Informatică. Direcția de cercetare. Laboratorul calculatoare de proces. 1980.
59. **Al. Spătaru**, Teoria transmisiunii informației, înatura didactică și pedagogică, București, 1983.
60. **D. Stanomir**, **a. Stanușilă**, Metode matematice în teoria semnalelor, Editura Tehnică, București, 1980.
61. **S.B. Stearns**, Digital Signal Analysis. Hayden Book Company, Inc., New Jersey, 1980.
62. **K. Steiglitz**, The simultaneous estimation of poles and zeros in speech analysis, Jour. Trans. Acoust., Speech, Signal Processing, vol. ASSP-25, pp. 229-234, 1977.
63. **G.W. Stewart**, Introduction to Matrix Computations. New York: Academic, 1973.
64. **G.W. Stewart**, On the perturbation of pseudoinverses, projections and linear least squares problems, SIAM Rev., vol. 19, no. 4, pp. 634-662, 1977.
65. **G. Stolojăne**, **... Odor**, **F. Cetină**, Prelucrarea numerică a semnalului acustic, Editura Militară, București, 1984.
66. **V. Liponuț**, studii privind aplicarea egiționării la operatorile acustici. Teză de doctorat. 1981.
67. **L. Ioma**, Metode optimizante de analiza spectrală. Referat. 1983.
68. **D.W. Tufts** și **C. S. Burrus**, Singular value decomposition and improved frequency estimation using linear prediction, Jour. Trans. Acoust., Speech, Signal Processing, vol. ASSP-30, pp. 671-675, Aug. 1982.
69. **T.J. Ulrych** și **.... Clayton**, Time series modelling and maximum entropy, Phys. Earth and Planetary Interiors, vol. 12, pp. 1-18, Aug. 1976.

70. C.Van Schooneveld and D.J.Frijling, Spectral Analysis:
On the usefulness of tapering for leakage suppression,
Trans.Acoust., Speech, Signal Processing, vol.ASSP-29,
pp.323-329, Apr.1981.
71. J.L.Zolesio, J.L.Boschene, Transformée de Fourier Discrète en Radar Doppler, Laboratoire Central de Télécommunications, Vélizy-Villacoublay, novembre, 1979.

CONTENUT

	pag.
1. INTRODUCEREA	1
2. ESTIMAREA AMPLITUDEI	6
2.1. Modeluri	
2.1.1. Modelul	7
2.1.2. Modelul	9
2.2. Determinarea	
2.2.1. fazelor	10
2.2.2. Estimarea	12
2.3. Estimarea	
2.3.1. Matricei	15
2.3.2. Matricei	19
2.4. Matricei	
2.4.1. Matricei	23
2.4.2. Matricei	24
3. METODA OPTIMIZAREI	44
3.1. Mărirea	
3.1.1. sinusoidelor	46
3.1.2. de către	
3.1.3. sistemelor	
3.1.4. de către	
3.2. Reducerea	
3.2.1. sinusoidelor	
3.2.2. de către	
3.2.3. sistemelor	
3.2.4. de către	
3.3. Reducerea	
3.3.1. sinusoidelor	
3.3.2. de către	
3.3.3. sistemelor	
3.3.4. de către	
3.4. Reducerea	
3.4.1. prelevării	
3.4.2. sistemelor	
3.4.3. de către	
3.4.4. eșantionării	
4. REZULTATE	70
5. CONCLuzii	93
BIBLIOGRAFIE	100